



电子科技大学

University of Electronic Science and Technology of China

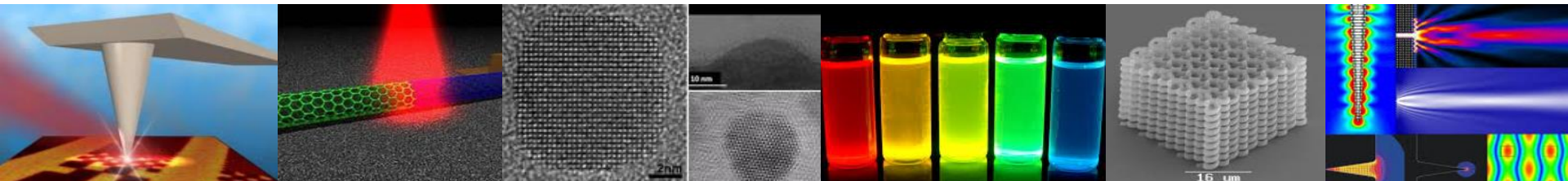
纳米光子学

Nanophotonics

## 第10讲：等离子体集成光路

兰长勇

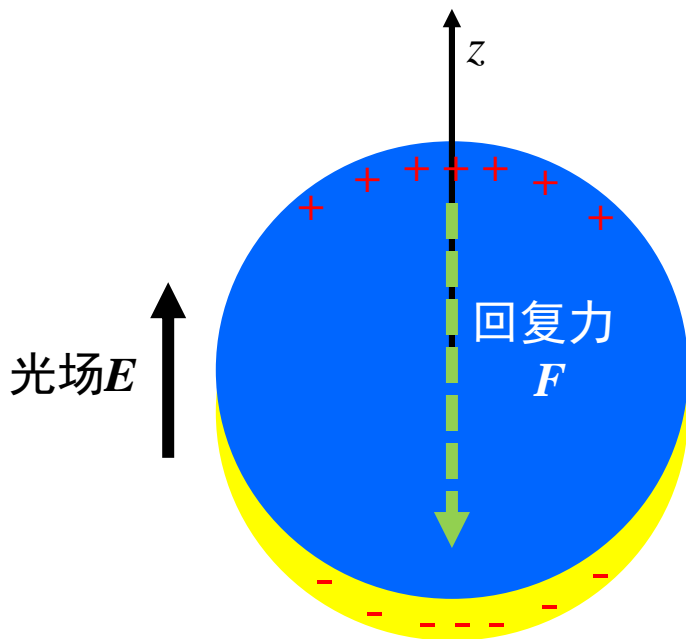
光电科学与工程学院



# 补充

## ► LSP共振物理图像

- 电子云在光场作用下做集体振荡
- 正负电荷中心偏离产生回复力 $F$



$$m \frac{d^2 z}{dt^2} - F = -qE$$

光场:  $E = E_0 e^{-i\omega t}$

回复力:  $F = -az$

$$\frac{d^2 z}{dt^2} + \omega_0^2 z = -\frac{q}{m} E_0 e^{-i\omega t}, \quad \omega_0 = \sqrt{\frac{a}{m}}$$

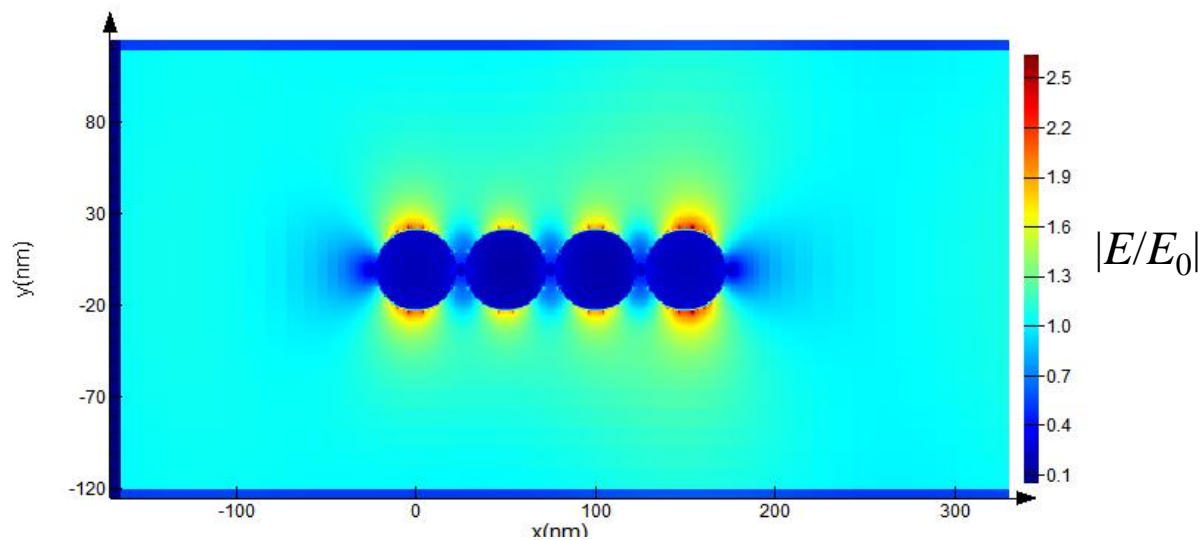
$$z = \frac{q/m}{\omega^2 - \omega_0^2} E_0 e^{-i\omega t}$$

$\omega_0$  : LSP共振频率

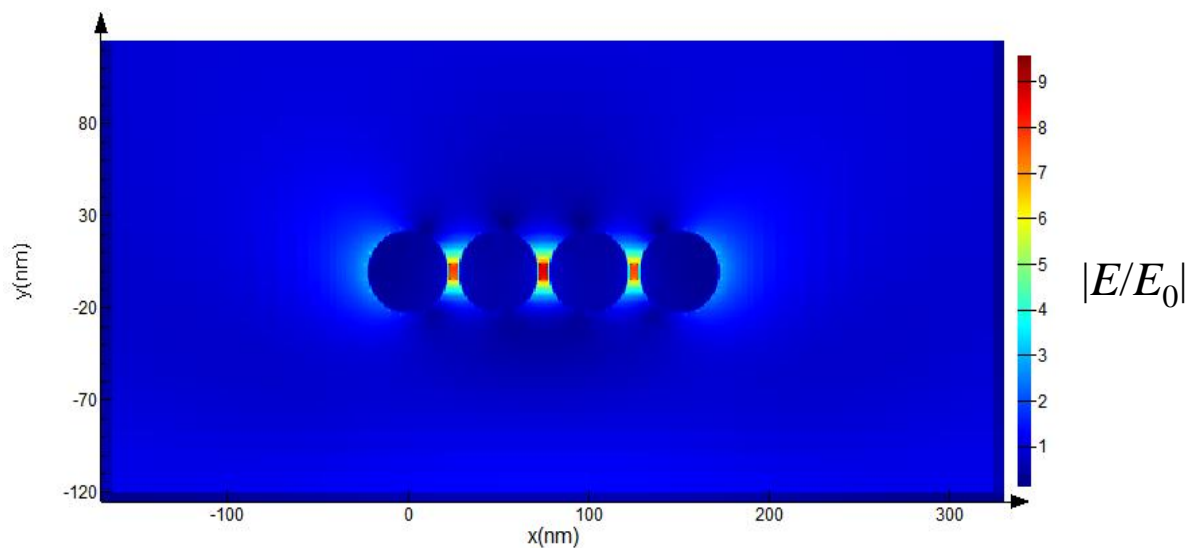
采用此图像便于理解，但是系数  $a, q$  无法获得。

# 补充

横模  
 $\updownarrow$   
 $E$

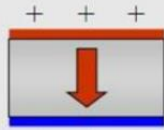
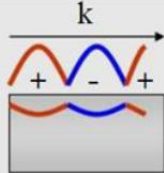
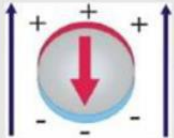


纵模  
 $\longleftrightarrow$   
 $E$



# 等离子体光学

- ▶ 金属光学与体积等离子激元
- ▶ 表面等离子体激元
- ▶ 表面等离子体激元的激发与表征
- ▶ 局域表面等离子体
- ▶ 等离子体集成光路

	Volume plasmons	SPPs	LSPs (nanosphere)
原理图			
模式性质	金属体内的电荷的集体振荡	金属表面的传播模式	不传播 束缚模式
波的性质	纵向	横向&纵向	—
特征频率	$\omega_p = \sqrt{\frac{Ne^2}{\epsilon_0 m}}$	$\omega_{sp} = \frac{\omega_p}{\sqrt{1 + \epsilon_d}}$	$\omega_{lsp} = \frac{\omega_p}{\sqrt{1 + 2\epsilon_d}}$
与光的相互作用	不相互作用 (non-EM wave)	与光子耦合 产生谐振	谐振消光 (散射+吸收)

# 本讲内容

---

## ▶ 为什么研究等离子体集成光路？

## ▶ 等离子体集成光路

- ▶ SPP源/发射器

- ▶ SPP波导

- ▶ SPP的导向

- ▶ SPP的调制

- ▶ SPP的放大

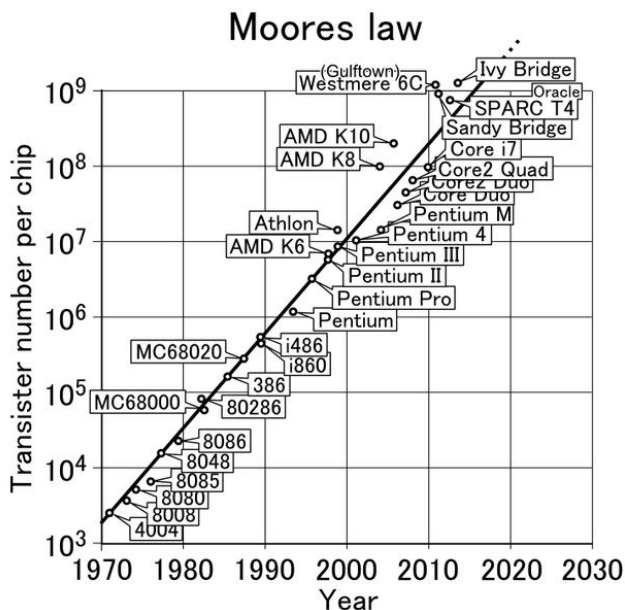
- ▶ SPP的探测

等离子体光路的基本组件

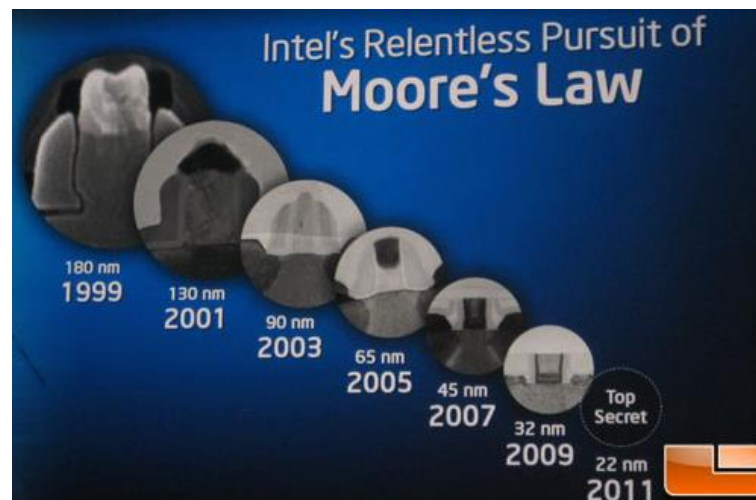
## ▶ 等离子体集成光路的展望

- Stefan Alexander Maier, Plasmonics—fundamentals and applications; Chapter 7
- D. K. Gramotnev, et al. “Plasmonics beyond the diffraction limit”, Nature Photonics, 2010
- V.J. Sorger, et al. “Toward integrated plasmonic circuits”, MRS bulletin, 2012

# 1. 为什么要研究等离子体集成光路？



2015年 莫尔定律问世50周年

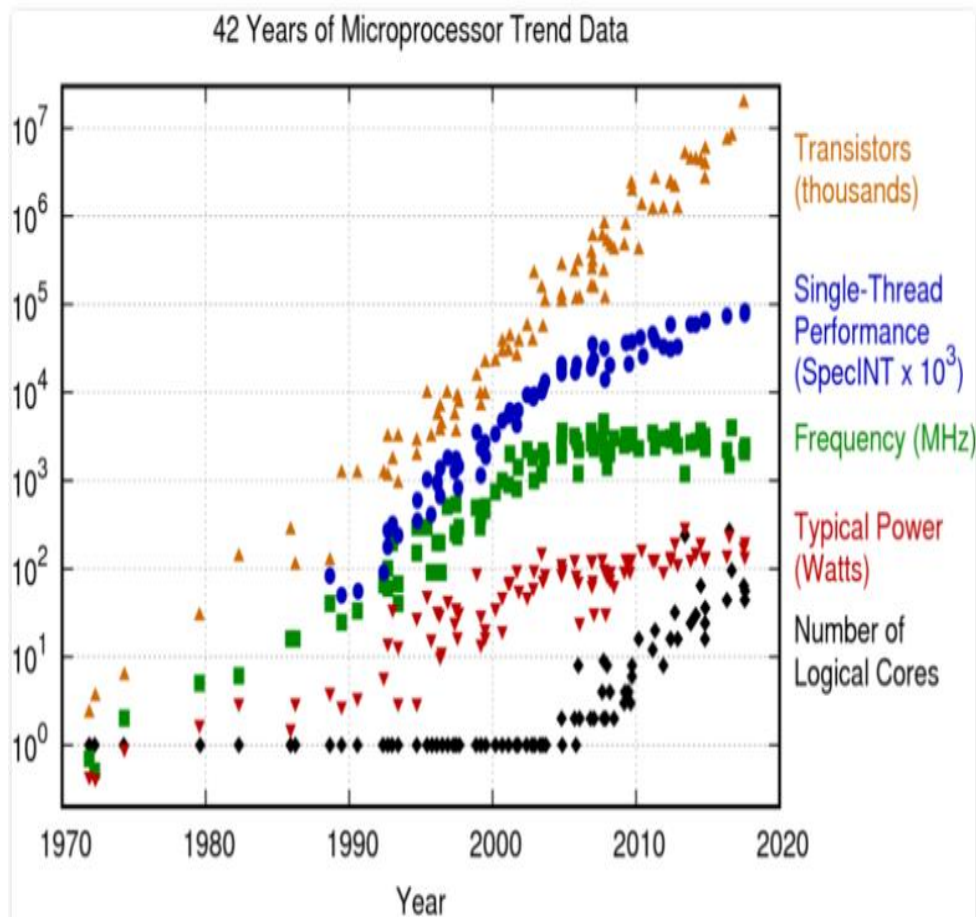


**摩尔定律：**单位面积上的晶体管数量每18-24个月增加一倍

3 nm process nodes [\[edit\]](#)

	Samsung <sup>[4][54]</sup>		TSMC <sup>[2][54]</sup>		Intel <sup>[7]</sup>
Process name	3GAE	3GAP	N3	N3E	3
Transistor type	MBCFET	MBCFET	FinFET	FinFET	FinFET
Transistor density (MTr/mm <sup>2</sup> )	202.85	Unknown	314.73	Unknown	Unknown
SRAM bit-cell size (μm <sup>2</sup> )	Unknown	Unknown	Unknown	Unknown	Unknown
Transistor gate pitch (nm)	40	Unknown	45	Unknown	Unknown
Interconnect pitch (nm)	32	Unknown	22	Unknown	Unknown
Release status	2022 risk production <sup>[4]</sup> 2022 production <sup>[44]</sup> 2022 shipping <sup>[55]</sup>	2023 production <sup>[4]</sup>	2021 risk production 2022 H2 volume production <sup>[2]</sup> 2023 H1 shipping for revenue <sup>[56]</sup>	2023 production <sup>[2]</sup>	2023 risk production <sup>[7]</sup> 2024 production <sup>[57]</sup>

# 硅基微电子发展极限



集成度  $\sim 10^{10}$

单线程性能

时钟频率,  $< 10\text{GHz}$  限制

典型功率

逻辑核心数

## 互联瓶颈

随着IC集成度的增加, 排序做的更加紧凑, 导致寄生电容大幅度增加, 从而导致信号传输延迟大大增加。信号延迟限制了计算速度的提升!

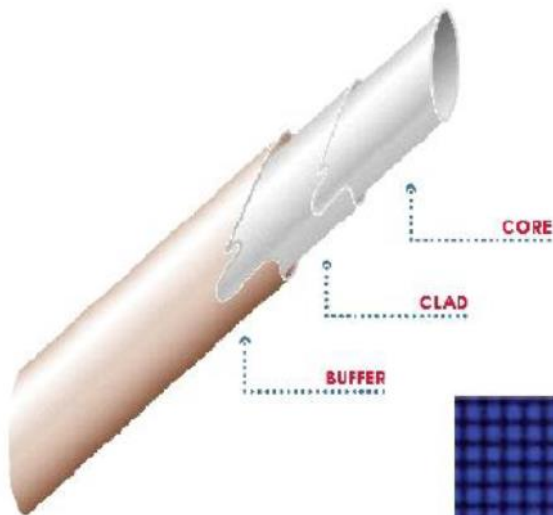


# 光互联取代电互联

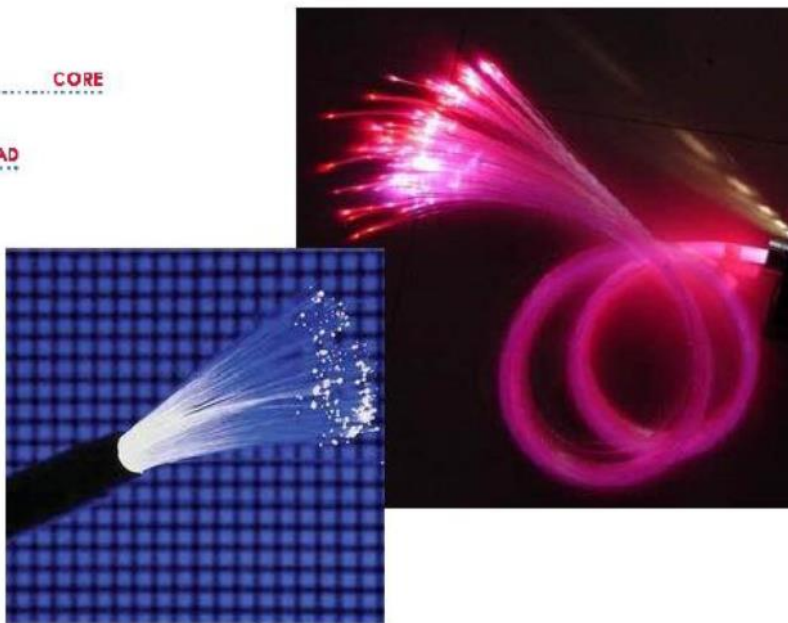
---

## ► 光互联的优点：

- 大数字容量和带宽、快速信号处理



光纤:长距离通信



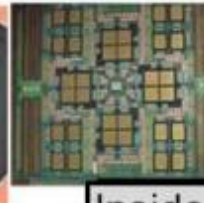


# 光互联取代电互联

## Time of Commercial Deployment (Copper Displacement)



Outside the Box



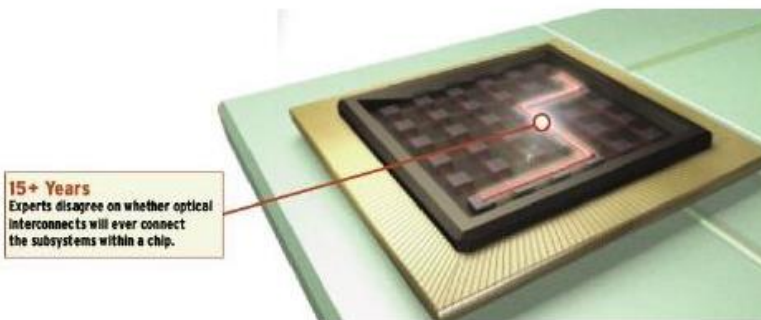
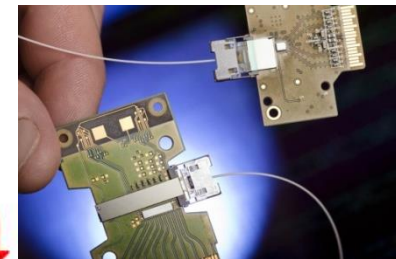
Inside the Box

	Long-Haul, Metro	Local Area Networks	Rack-to-Rack	Card-to-Card	On-Card	On-Module	On-Chip
Distance	Multi – 100's km's	10 m – 2 km	<10 m intra- <100 m inter-	<1 m	0.1 – 0.3 m	0.5 -10 cm	< 20 mm
# of lines	single	tens	100's	100-1k's	1000,s	10,000's	100K-10M
Cost (\$/Gb/s)	1000	100	10	1	0.1	0.01	0.0001
Power (mW/Gb/s)	500	50	10	5	1	0.5	0.05
Density (Gb/s/mm <sup>2</sup> )	10 <sup>-3</sup>	10 <sup>-2</sup>	1	10	100	1000	10,000
Technologies	Internet Protocol, SONET, ATM	LAN/SAN Standard (Ethernet, InfiniBand, Fibre Channel)	Design-specific system buses, SAN standards (InfiniBand)		Design-specific. Some standards (PCI/PCI-X/3 GIO)	Standard and design specific components	IC design-specific
Optics or Copper	Optics ubiquitous since 80's or early '90s	Optics common since late 90's: Fiber standards in Enet, IB, FC	Optics coming in 2005-2010, with effort		Optics possible cost-effective vs. copper in 2010-2015	Standard components beyond 2012	Integrated optics beyond 2015

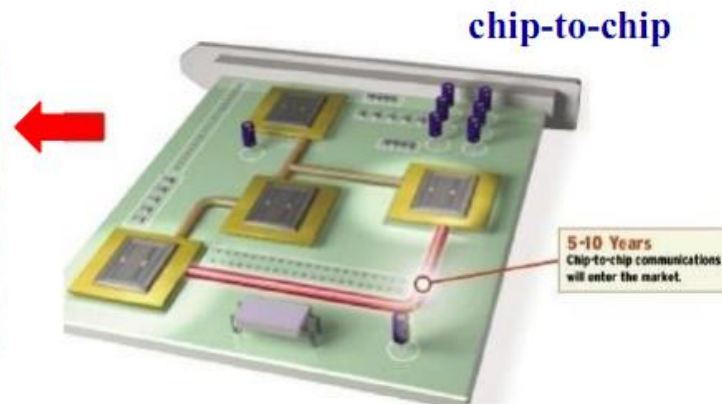
# 片上光互联 (On-chip Optical Interconnect)

## ● Coming Soon: Optical Interconnects

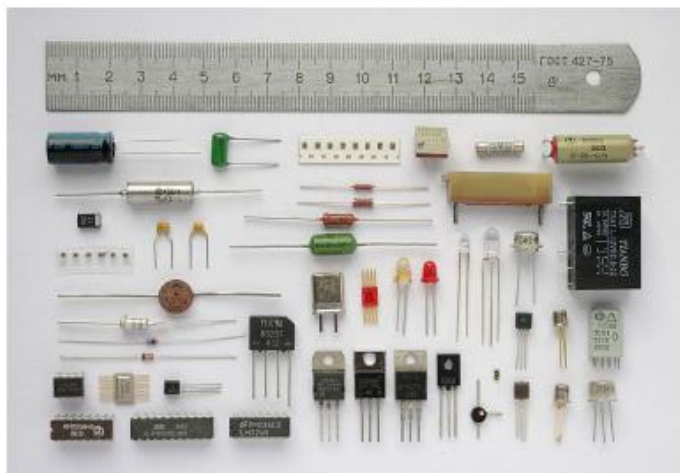
This approach to signal transfer is moving from longer-distance applications, such as linking separate computers, to joining chips within a computer.



**chip scale**



# 传统的电子学器件与光学器件



电子学器件



光子学器件



集成电路

CPU:  $\sim$ GHz, Gbit /秒  
 $\sim$ 32 nm  
散热大

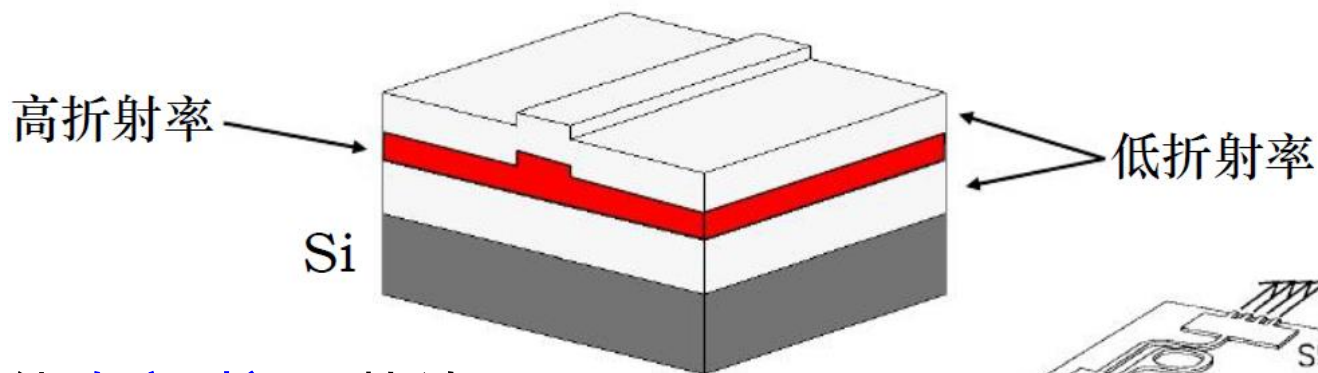


光纤通信和光计算

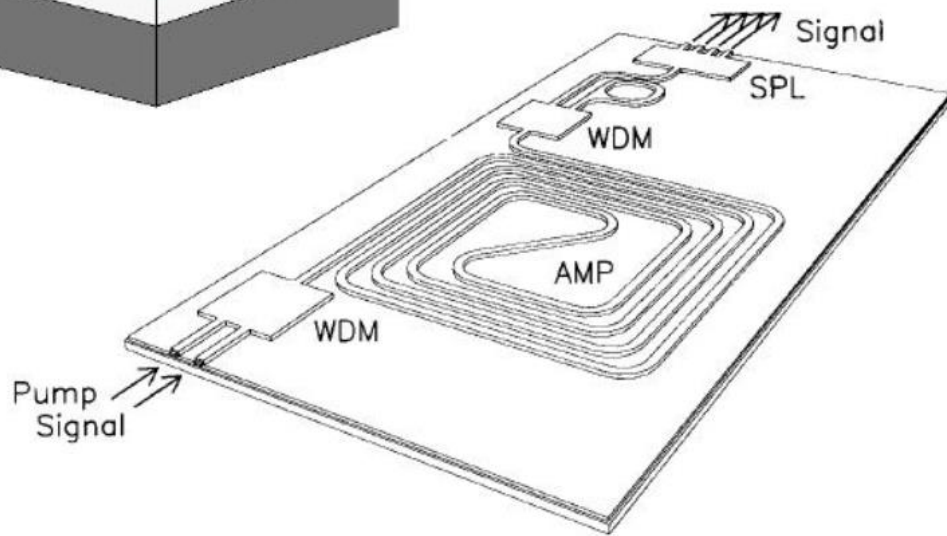
光纤:  $\sim$ 100Tbit/秒  
 $\sim$ 10  $\mu$ m  
基本无散热



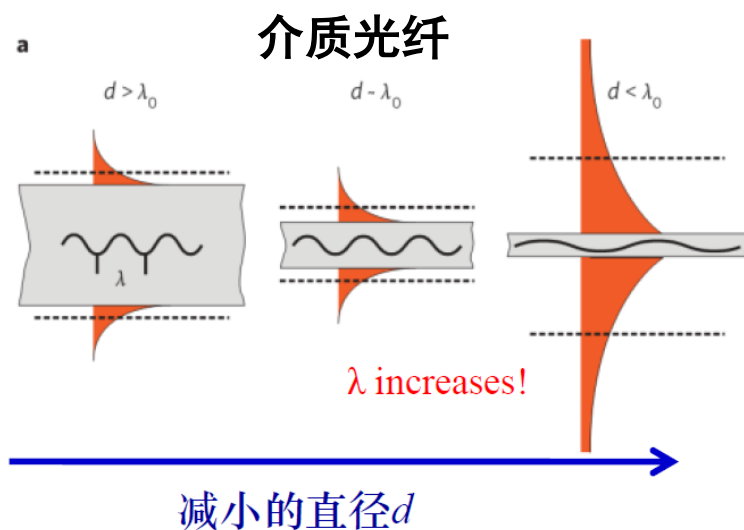
# 片上光互联优势



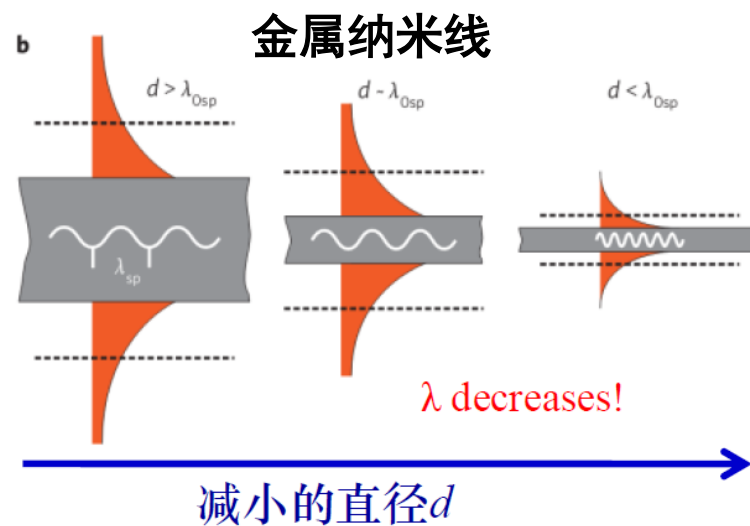
- 光开关器件响应时间最快达到 $10^{-15}$ s，即飞秒（fs）量级
- 利用多重波长和并行互联及处理可实现光互联。
- 由于光可以进行并行处理，可进行高速大容量信号处理



# 介质光纤 VS 金属纳米线

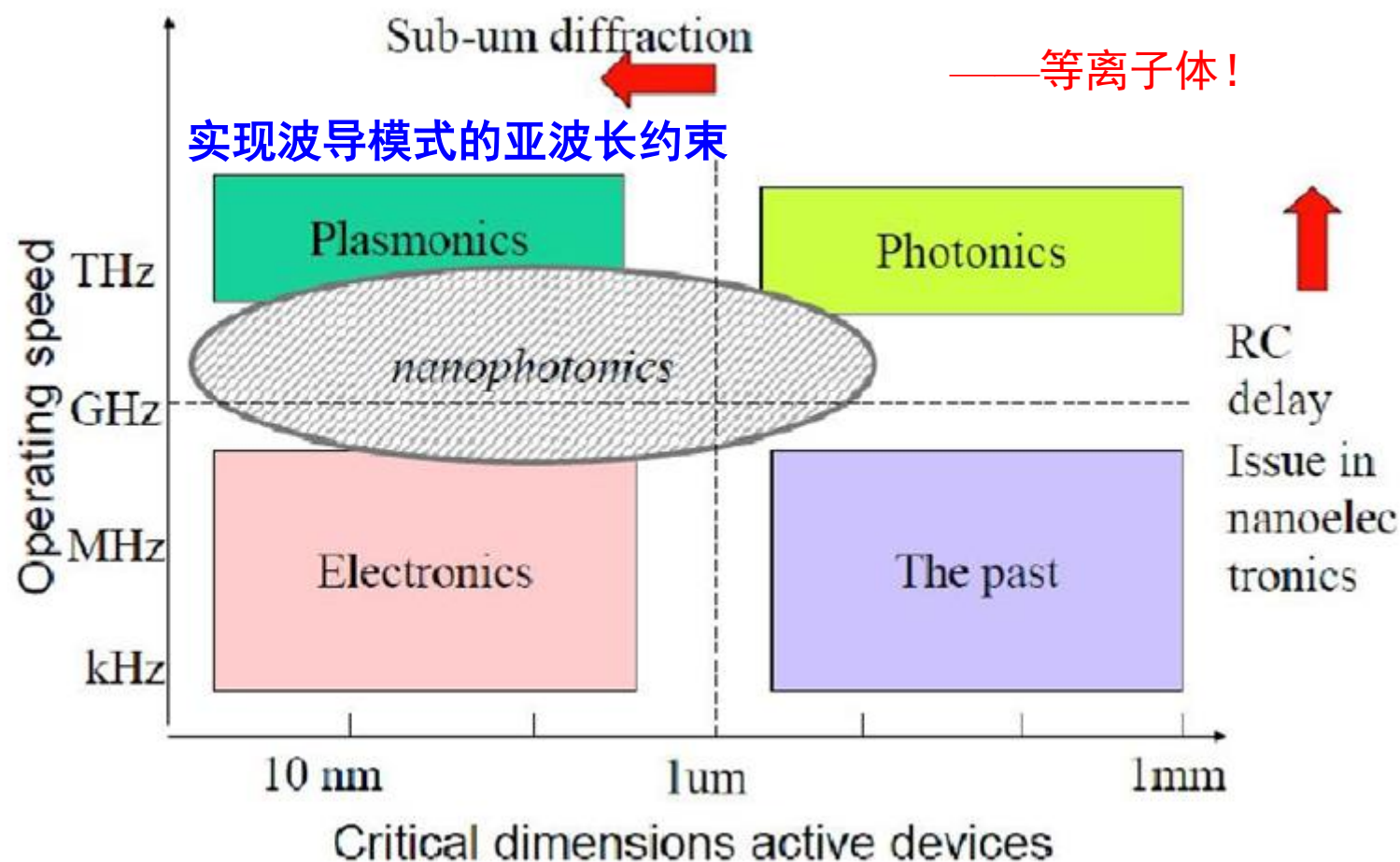


- 传导模式强烈渗透到周围介质，并最终成为平面波
- 模式尺寸减小到 $\lambda_0$ ，再增加到无穷大
- 不可能亚波长局域



- 约束增加，传播常数增大，传播速度减小
- 模式大小可以减小到几nm
- 亚波长局域是可能的，可以实现纳米级光传输

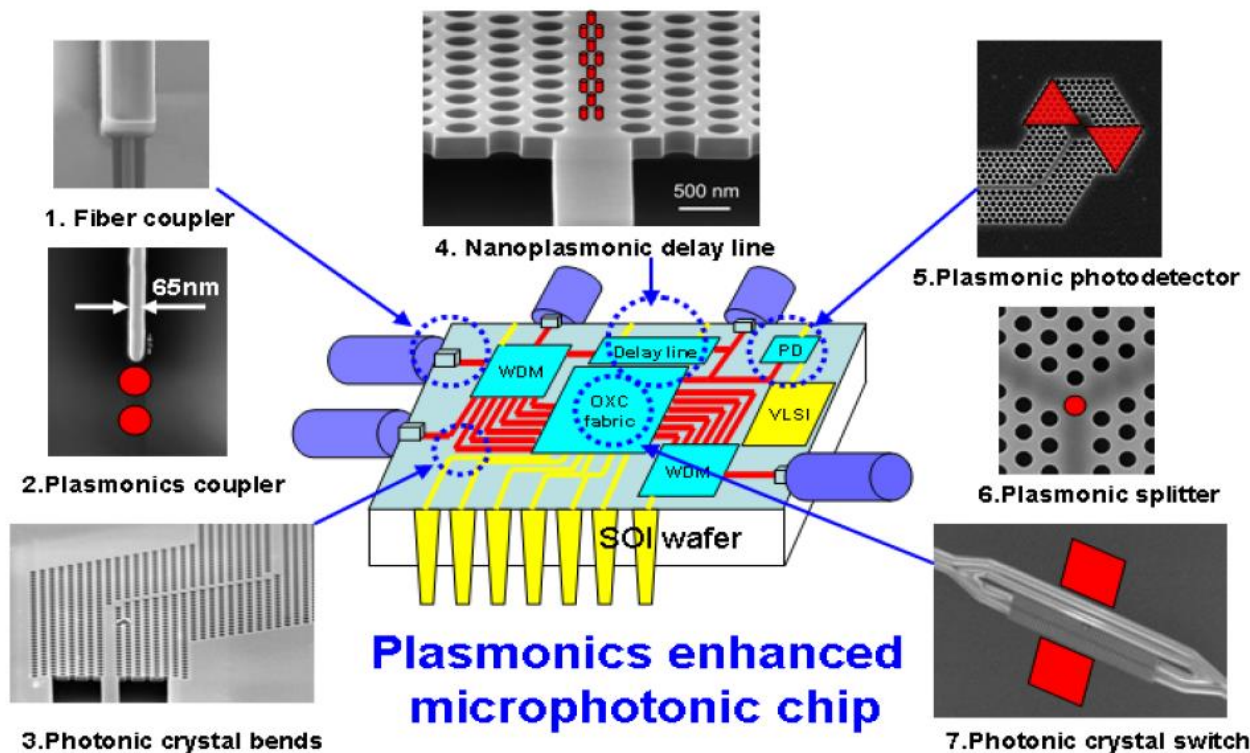
# 光子学和电子学的融合需要纳米光子学



表面等离激元和光子的相互耦合  
→ 纳米尺度光调控

新原理、新方法

# 等离子体集成光路



## 片上的各种功能


- 激发方案（光学、电学）
- 波导
- 调制（对信息进行编码）
- 导向、滤波、 、
- 检测

**关键：** 如何实现各个功能单元，即单个器件



# 本讲内容

---

- ▶ 为什么研究等离子体集成光路？
  - ▶ 等离子体集成光路
    - ▶ SPP源/发射器
    - ▶ SPP波导
    - ▶ SPP的导向
    - ▶ SPP的调制
    - ▶ SPP的放大
    - ▶ SPP的探测
  - ▶ 等离子体集成光路的展望
- 
- 等离子体光路的基本组件

Stefan Alexander Maier, Plasmonics—fundamentals and applications; Chapter 7

D. K. Gramotnev, et al. “Plasmonics beyond the diffraction limit”, Nature Photonics, 2010

V.J. Sorger, et al. “Toward integrated plasmonic circuits”, MRS bulletin, 2012

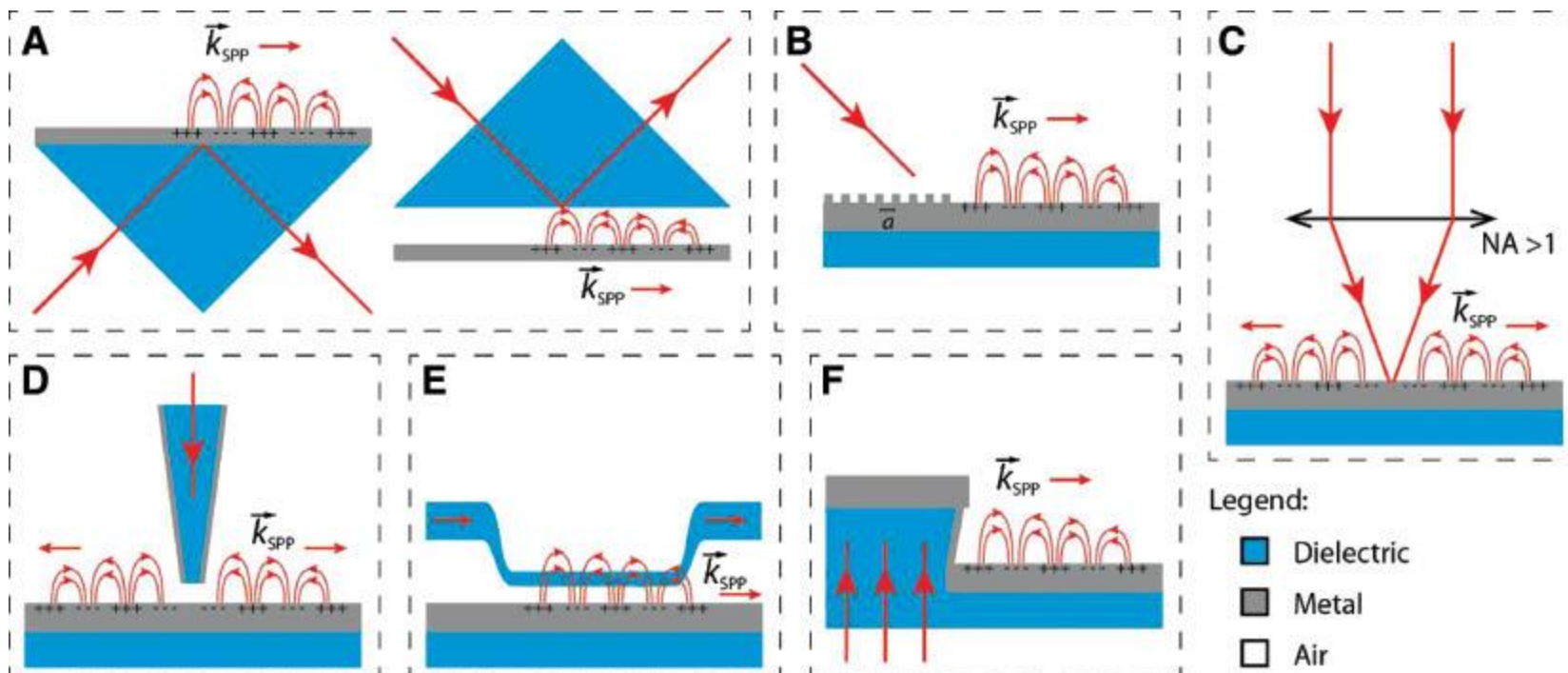
# SPP源/发射器—回顾激发方式小结

棱镜耦合激发  
(Kretschmann)

棱镜耦合激发  
(Otto)

栅结构耦合激发

高度集中光束激发



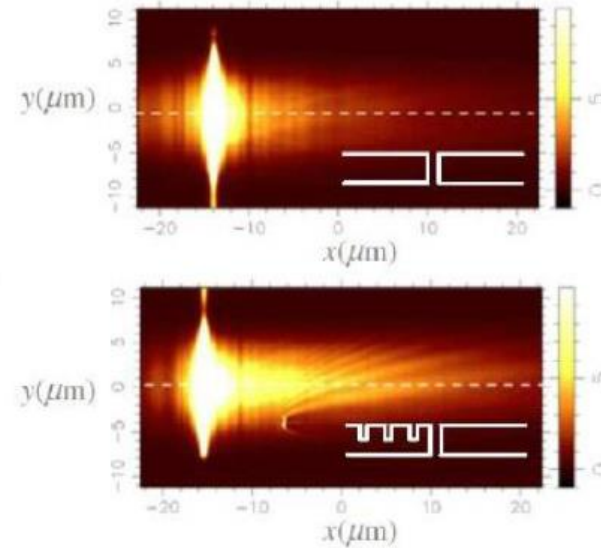
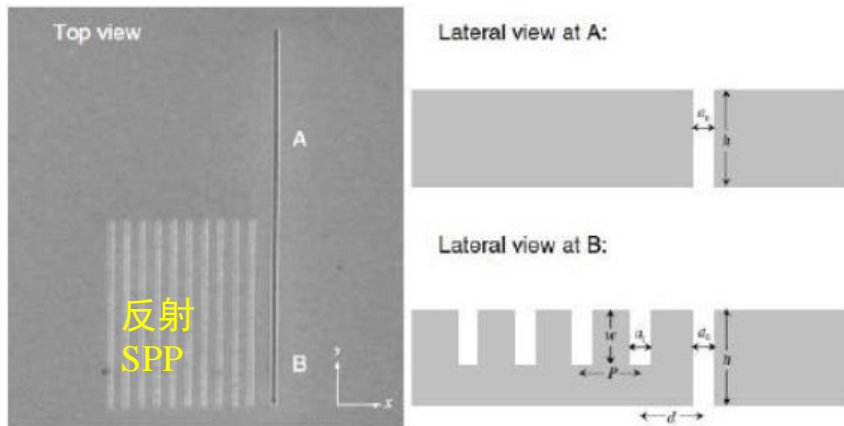
近场激发

泄漏模耦合

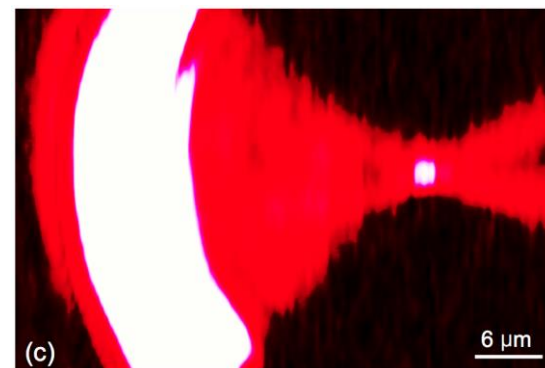
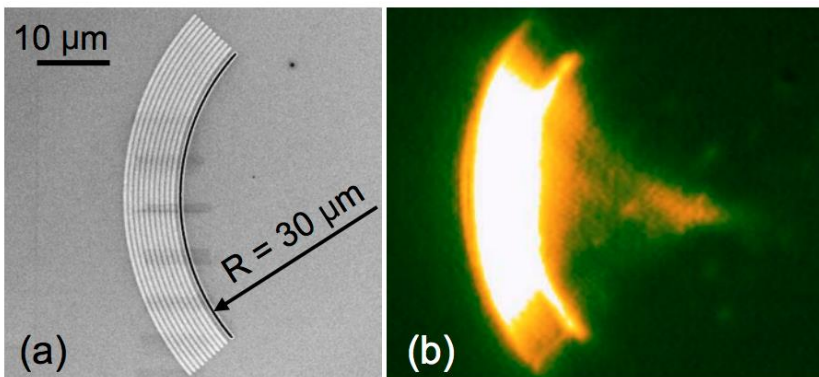
端射激发

# SPP源/发射器—定向SPP发射

光栅 + 狭缝



- 定向发生SPP



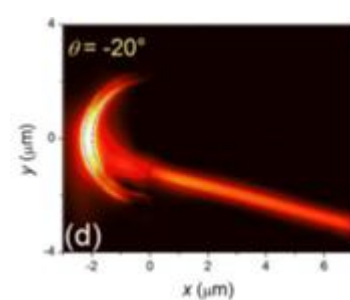
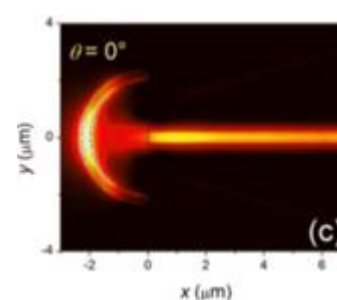
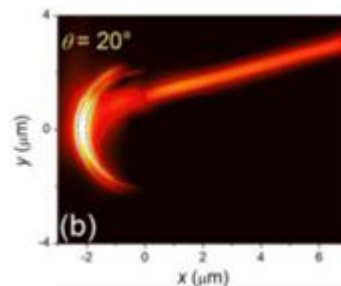
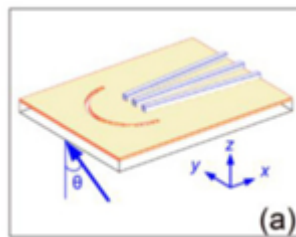
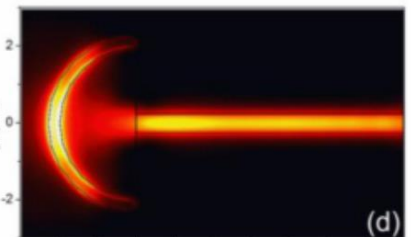
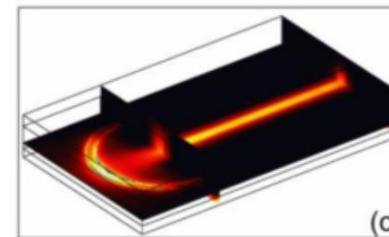
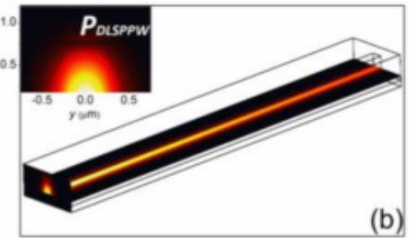
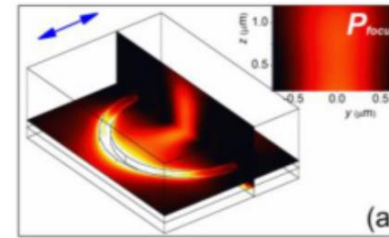
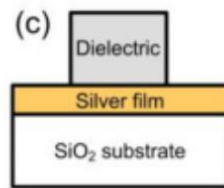
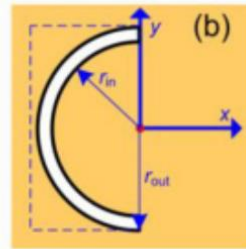
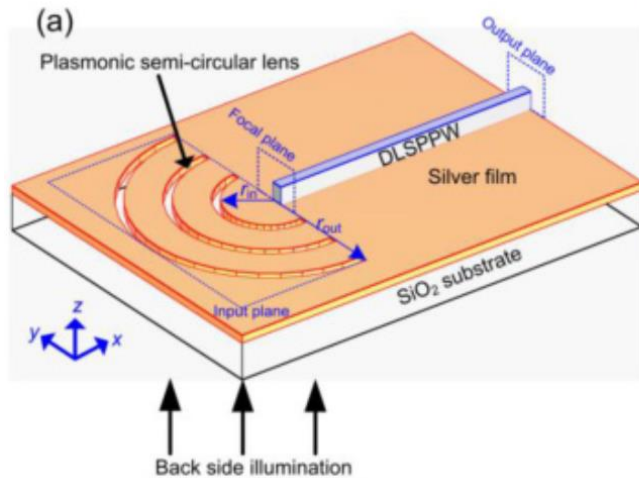
- SPP聚焦

光学显微镜成像

近场光学显微镜成像

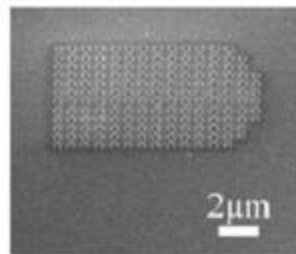
# SPP源/发射器—定向SPP发射

- SPP聚焦并导入SPP波导



改变激发光入射角度可以将SPP聚焦在不同的波导上

# SPP源/发射器—发射与整形



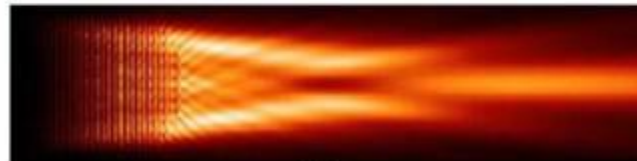
(a)



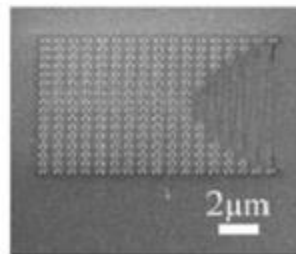
(b)



(c)



(d)



(e)



(f)



(g)

近场光学显微图

仿真：非均匀光照

仿真：均匀光照

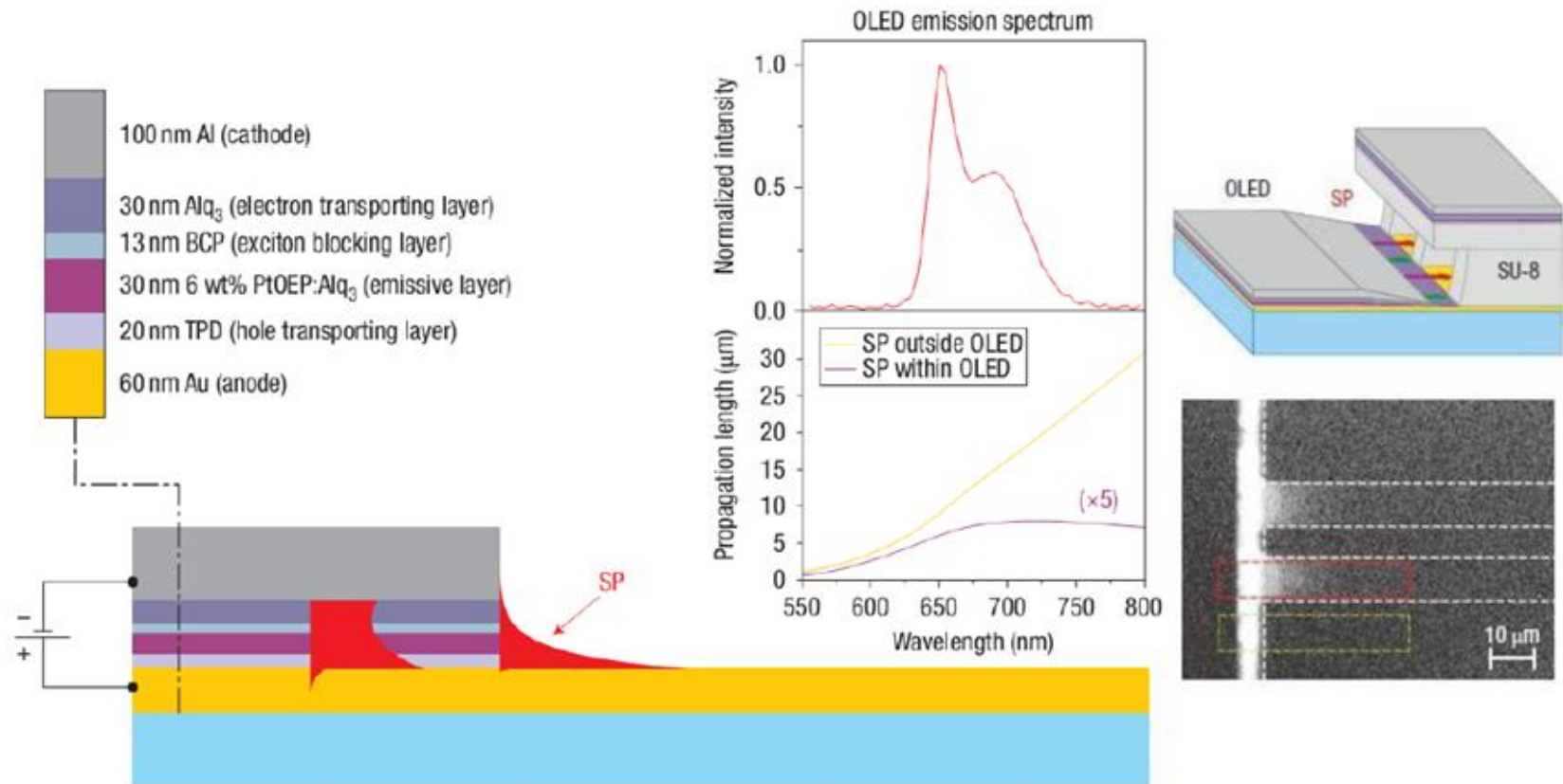
近场光学显微图

仿真：非均匀光照



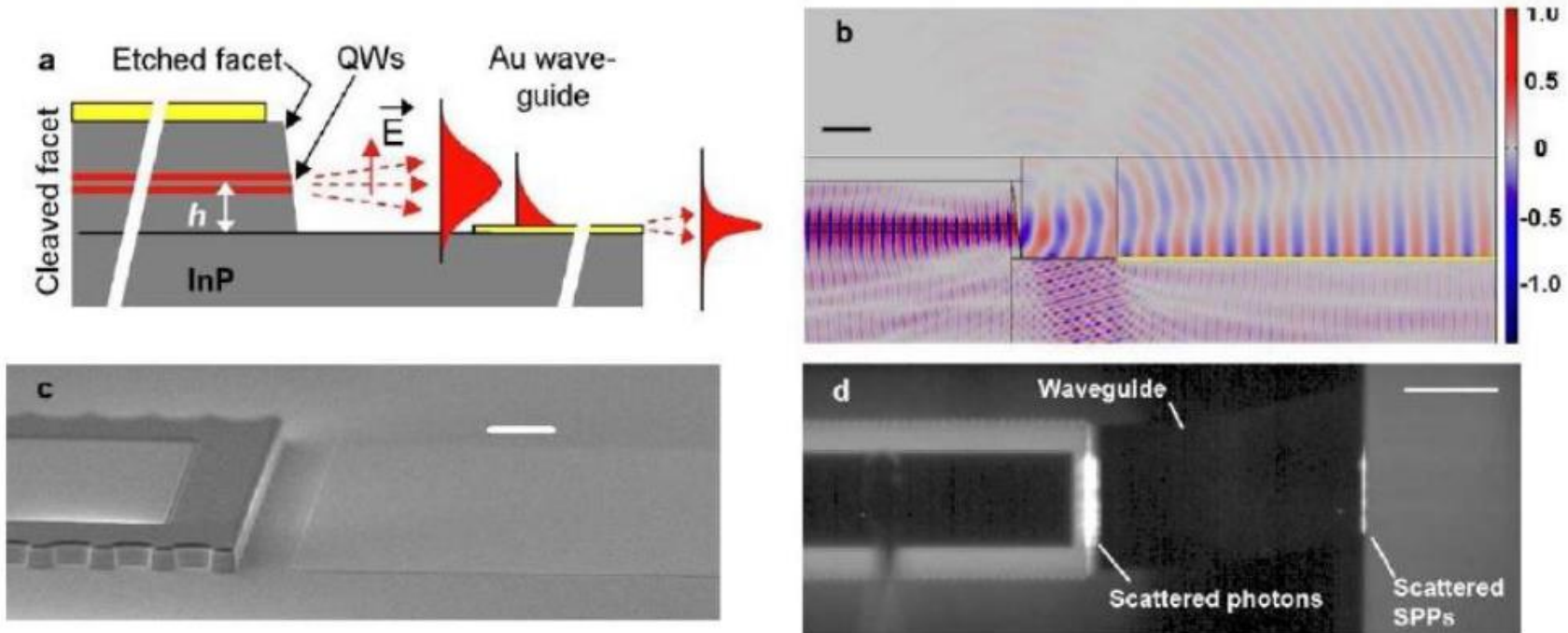
# SPP源/发射器—电注入

电注入：有机等离子体发光二极管



# SPP源/发射器—电注入

电注入：激光二极管到等离子体波导——端面耦合



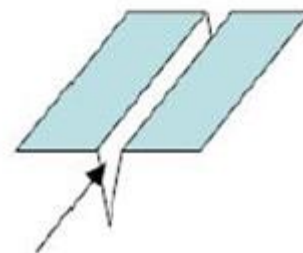
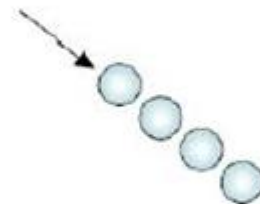
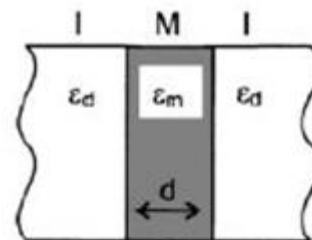
耦合效率：理论~60%，实验~36%

Kim et al, Opt. Express **18**,10609(2010)



# SPP波导

- 典型的SPP波导的约束和损耗之间的折衷
- 举例：
  1. 绝缘体/金属/绝缘体 (IMI) 异质结构红外范围的SPP（长程SPP：LRSPP）
    - 侧向约束：很弱（广泛）
    - 传播长度：几厘米（低损耗）
  2. 金属纳米线波导或金属纳米粒子波导
    - 侧向约束：低于衍射极限
    - 传播长度：小于微米（高损耗）
  3. 金属/绝缘体/金属 (MIM) 异质结构，特别是V型槽SPP波导
    - 约束性好
    - 可接受的传播长度



# SPP波导

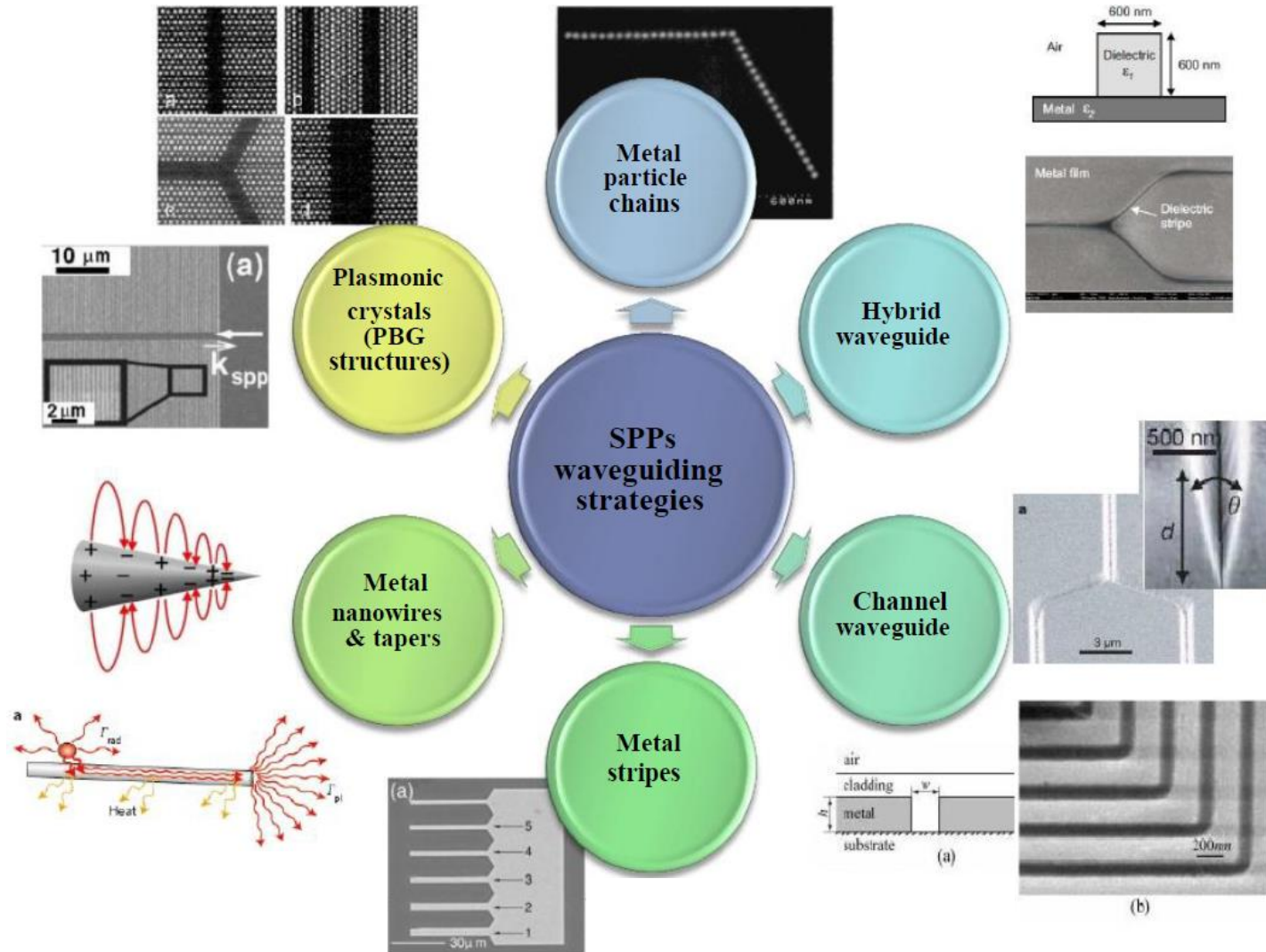


Wavelength (nm)	Au Index			SPP propagation length ( $\mu\text{m}$ )	LR-SPP propagation length ( $\mu\text{m}$ )
850	0.196+ i 5.590	Sapphire Index	1,75	7,5	122
		Glass index	1,50	7,6	220
1310	0.411+i 8.347	Sapphire Index	1,74	24,7	502
		Glass index	1,50	25,1	902
1550	0.559+i 9.810	Sapphire Index	1,73	40,0	811
		Glass index	1,50	40,6	1169

- The reference system is a 25 nm thick Au film.

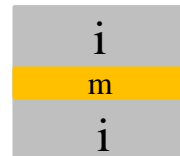
- **损耗**是由材料性质和几何形状决定，可以由增益介质补偿
- **约束**主要利用局部调整SPP色散来控制，通过适当的表面调制

# SPP波导



# 常用缩写

- (1) 长程表面等离极化激元: Long-range surface plasmon-polariton (LRSP)
- (2) 绝缘体-金属-绝缘体表面等离极化激元: Insulator-metal-insulator (IMI) SPP —— 对应 LRSP
- (3) 介质负载表面等离极化激元: Dielectric-loaded surface plasmon-polariton (DLSPP)
- (4) 沟道表面等离极化激元: Channel surface plasmon-polariton (CPP)
- (5) 金属-绝缘体-金属波导: Metal-insulator-metal (MIM) waveguide
- (6) 混合型SPP波导: Hybrid SPP waveguide

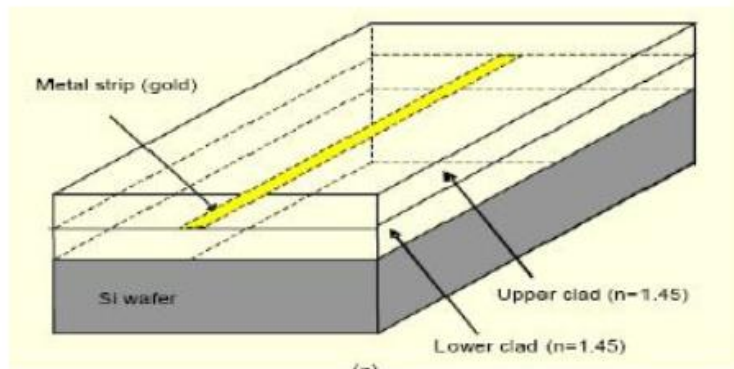


# 不同SPP波导的特性

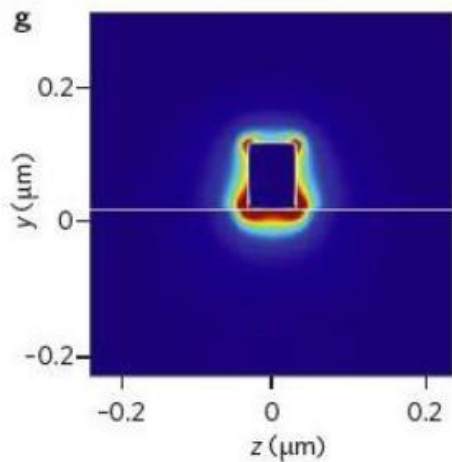
---

- **LRSPP**: 光斑大 ( $\sim 10\mu\text{m}$ ) , 传输距离长 ( $\sim \text{mm}$ ) , 弯曲损耗大 ( $r \sim 10\text{mm}$ )
- **DLSPP**: 束缚好, 光斑小 ( $\sim 1\mu\text{m}$ ) , 传输距离短 ( $\sim 40\mu\text{m}$ ) , 弯曲损耗小 ( $r \sim 5\mu\text{m}$ )
- **CPP**: 束缚好, 光斑小 ( $\sim 1.1\mu\text{m}$ ) , 传输距离短 ( $\sim 100\mu\text{m}$ ) , 弯曲损耗小 ( $r \sim 5\mu\text{m}$ )
- **MIM**: 束缚很好, 光斑小 ( $\ll \lambda$ ) , 传输距离短 ( $\sim 10\mu\text{m}$ ) , 弯曲损耗很小 ( $r \rightarrow 0$ )
- **Hybird SPP**: 束缚好, 光斑小 ( $\lambda^2/400$  to  $\lambda^2/40$ ) , 传输距离长 ( $\sim 100\mu\text{m}$ ) , 弯曲损耗小 ( $r \sim 5\mu\text{m}$ )

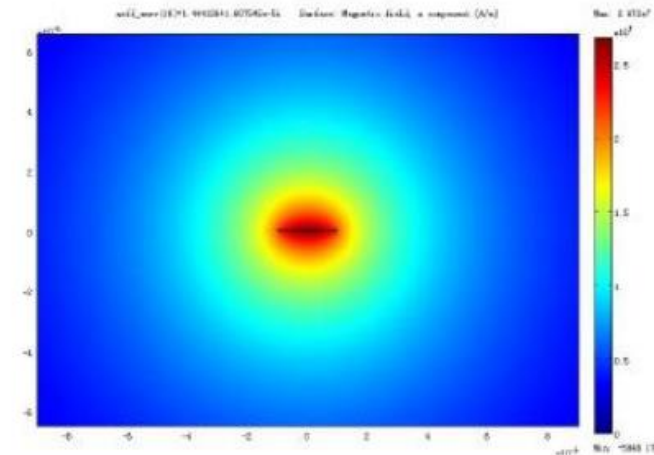
# SPP波导—金属条状波导



短程SPP模式: SRSPP mode  
金属条很厚



优点:  
束缚能力很强  
缺点:  
传播距离短

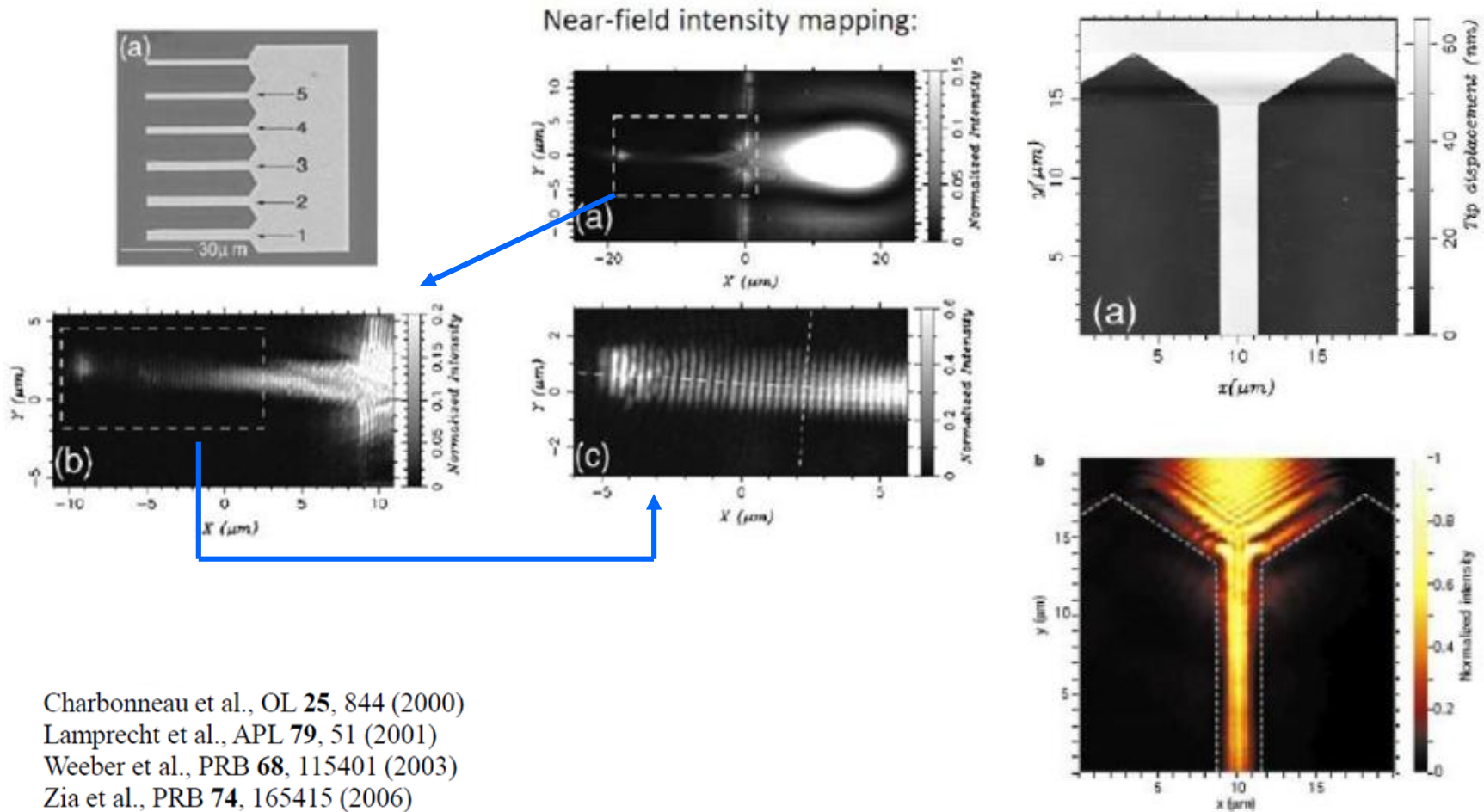


长程SPP模式: LRSPP mode 金属条很薄

优点:  
低传播损耗(几个dB/cm)  
缺点:  
束缚能力小(很大的模区域)



# SPP波导—金属条状(Strip)波导实验研究



Charbonneau et al., OL **25**, 844 (2000)

Lamprecht et al., APL **79**, 51 (2001)

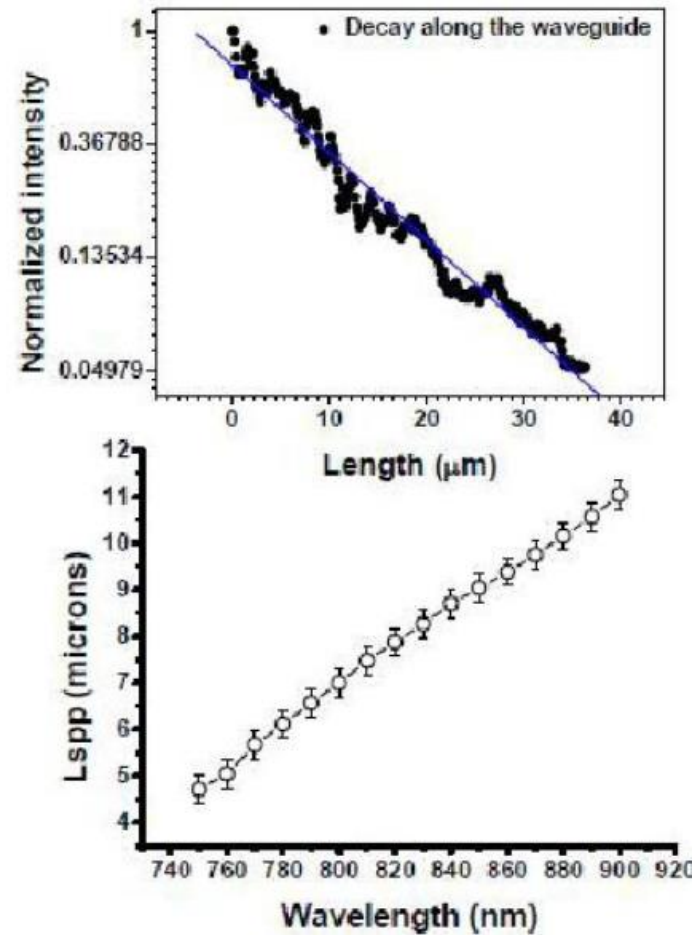
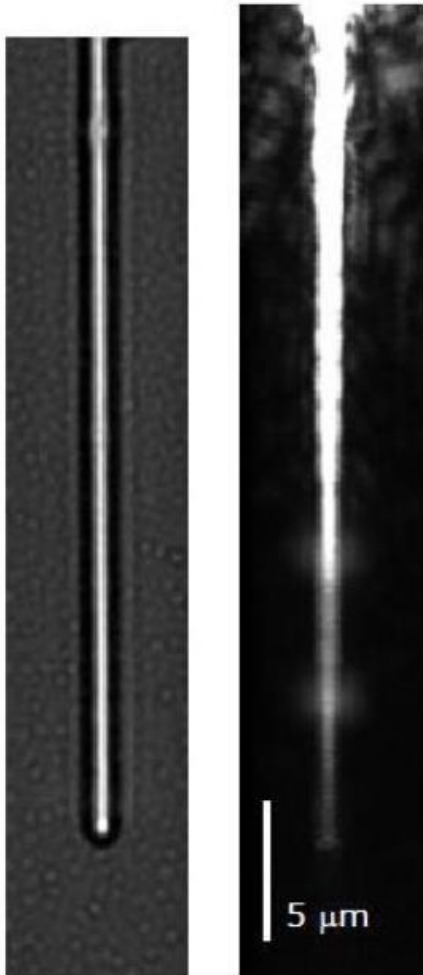
Weeber et al., PRB **68**, 115401 (2003)

Zia et al., PRB **74**, 165415 (2006)

金属条状SPP波导：金属厚度非常小时， $\beta$  虚部趋向零，表明有非常小的损耗和较长传播距离，称为LRSP



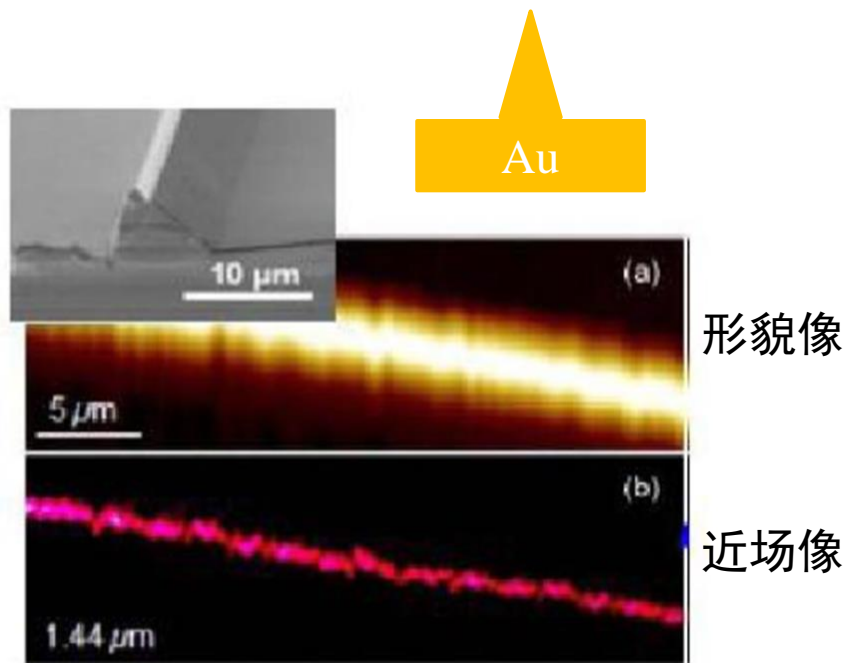
# SPP波导—金属条状波导—SPP传播长度



通常入射波长越长SPP传播长度越长

# SPP波导—楔型(Wedge)

金属条的变异——楔形波导

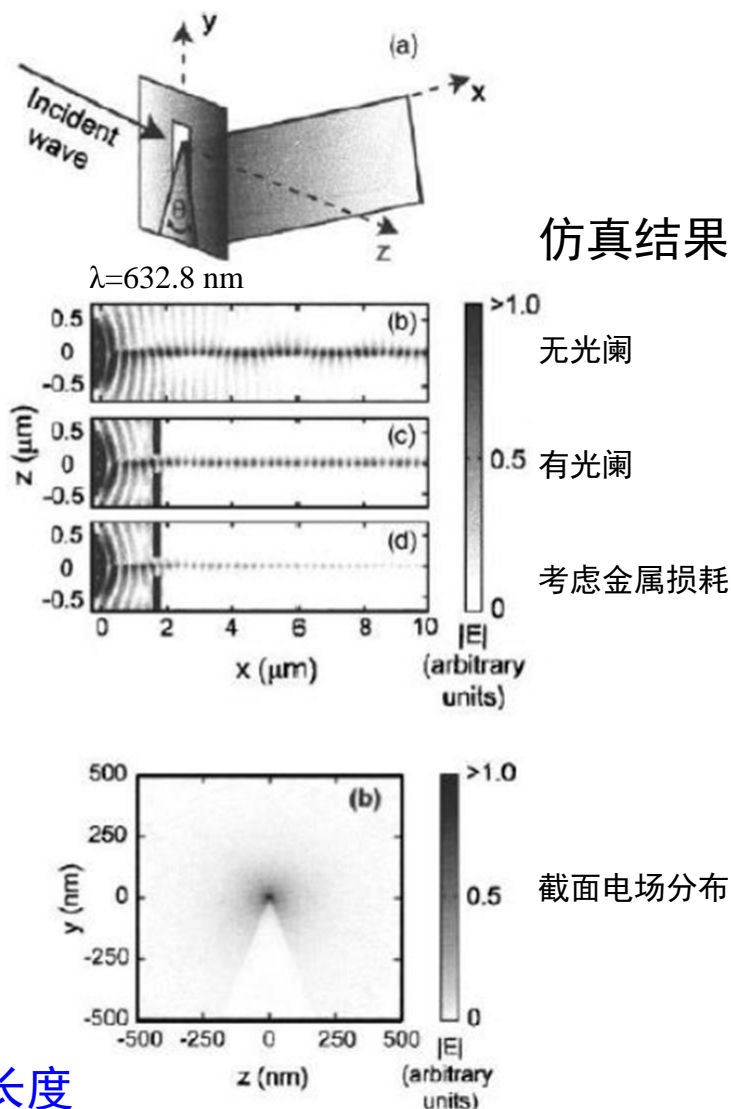


Moreno et al. *Phys. Rev. Lett.*, 100, 023901 (2008)

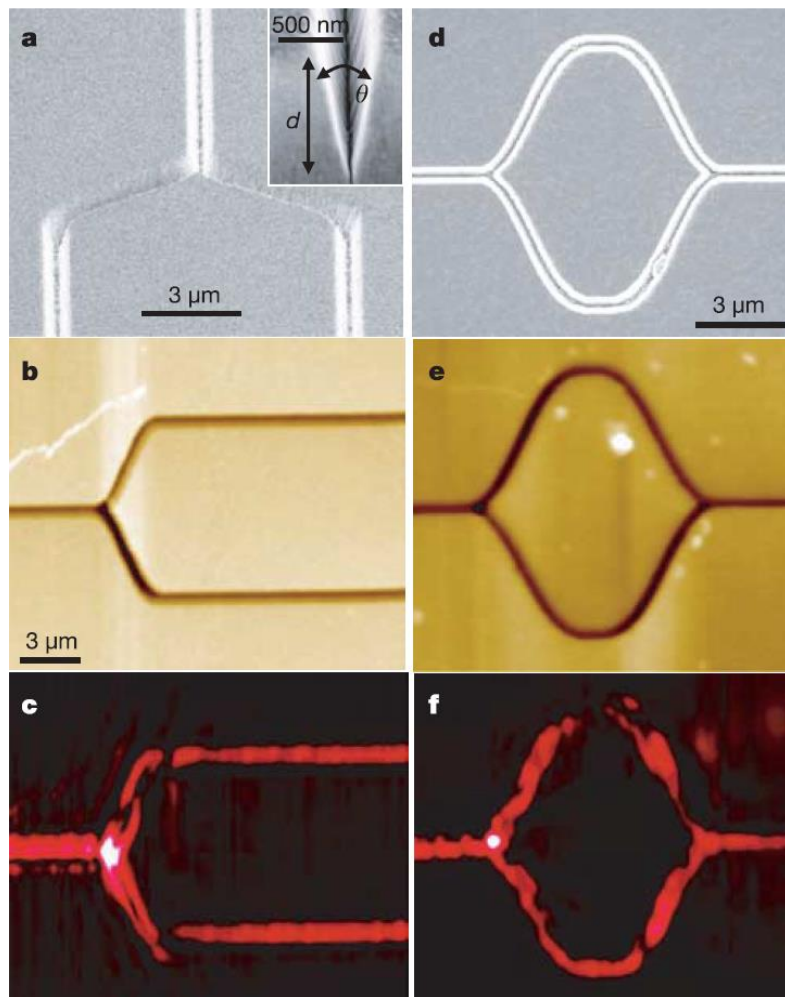
Boltasseva et al. *Opt. Express*, 15, 5252 (2006)

Pile et al., *Appl. Phys. Lett.*, 87, 061106 (2005)

更强的场约束+合理的SPP传播长度

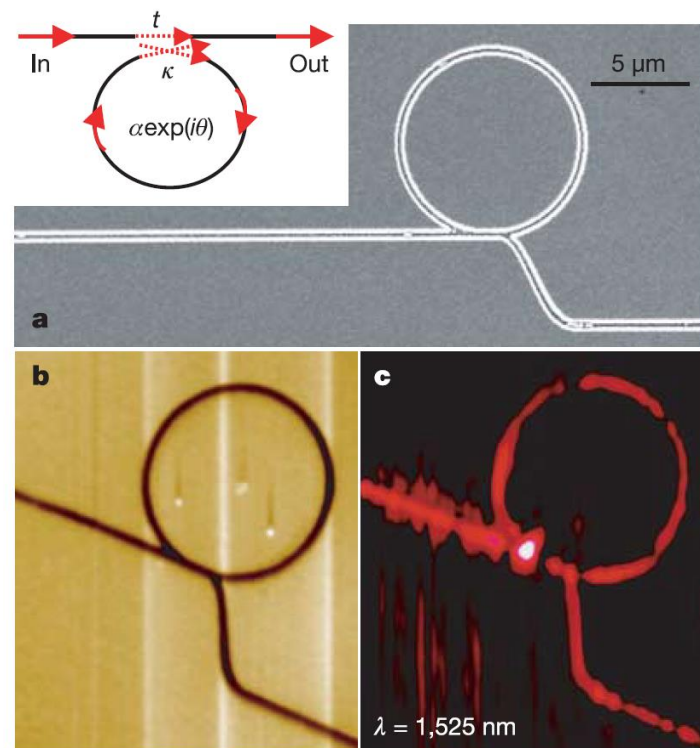


# SPP波导—V型槽(V-groove)



Y分束器

Mach-Zender  
干涉仪



环形谐振器

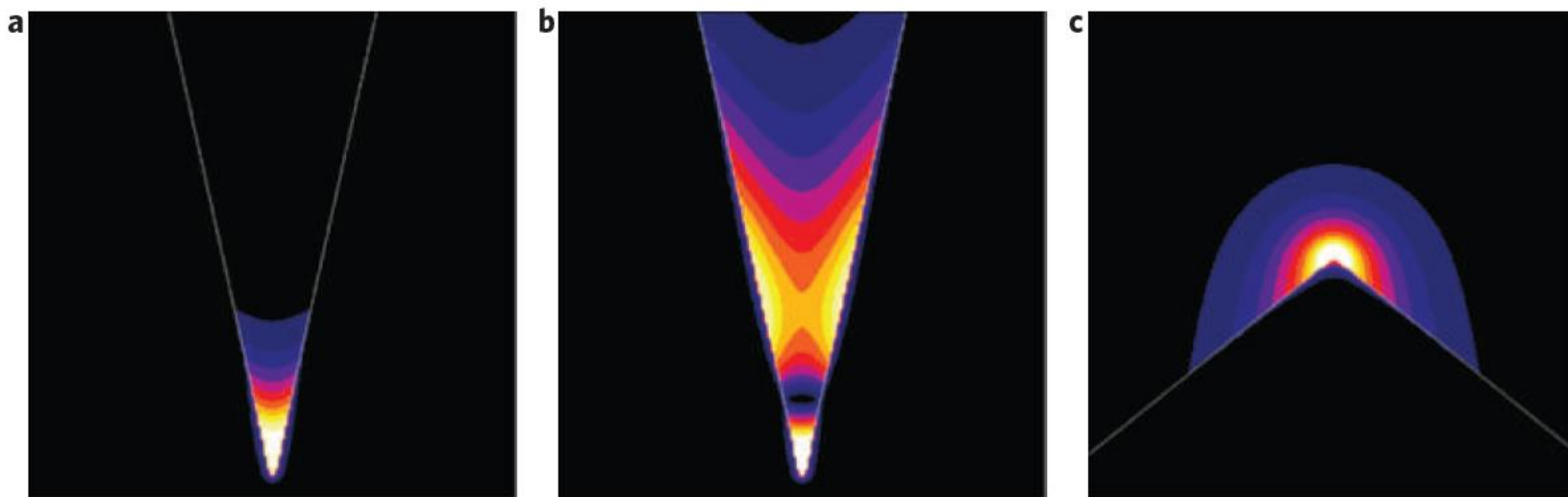
Novikov et al., PRB **66**, 035403(2002)

Pile et al., OL **29**, 1069(2004)

Bozhevolnyi et al., PRL **95**, 046802(2005)

Bozhevolnyi et al., Nature **440**, 508(2006)

# SPP波导—楔型(Wedge) vs V型槽(V-groove)



基模

高阶模

基模

V型槽波导

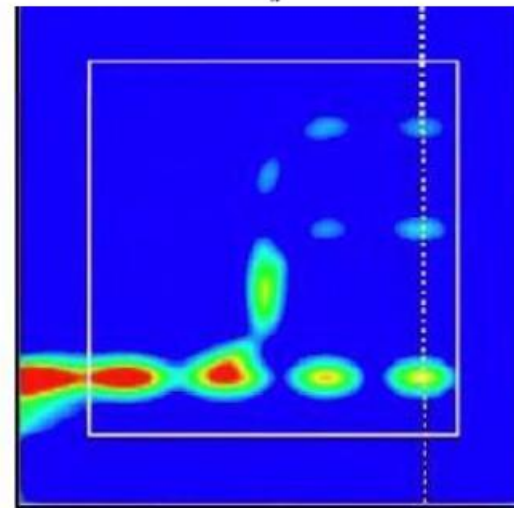
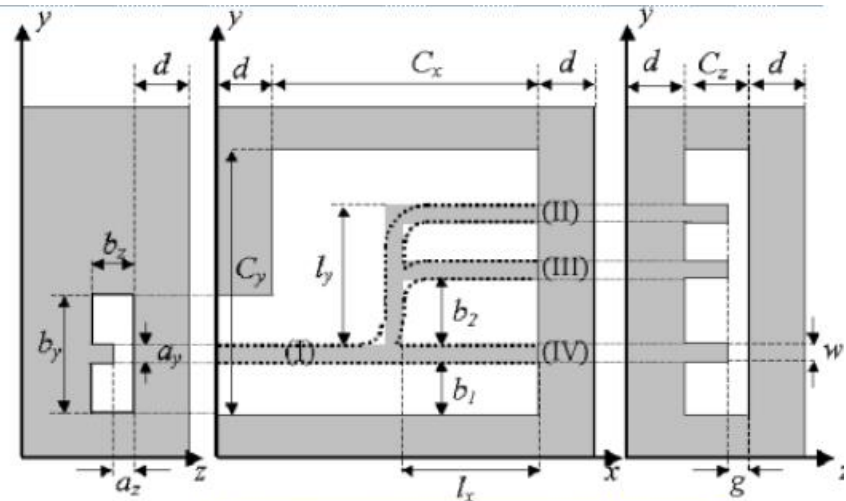
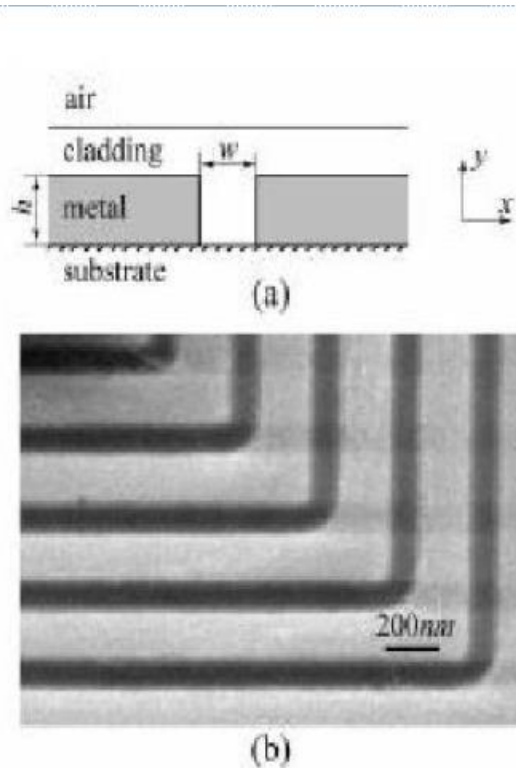
楔型波导

通讯频率 ( $\sim 1300\text{-}1550\text{ nm}$ ) : 楔型波导优于V型槽波导, 强约束, 相对低损耗, 远距离 (几百微米)

光频: V型槽优于楔型波导

Gramotnev and Bozhevolnyi, Nature Photon. **4**, 83 (2010)

# SPP波导—狭缝(Slot)



分束器

Tanaka et al., APL **82**, 1158 (2003)  
Wang et al., Opt. Lett. **29**, 1992 (2004)  
Tanaka et al., Opt. Exp **13**, 256 (2005)  
Dionne et al., Nano. Lett. **6**, 1928 (2006)



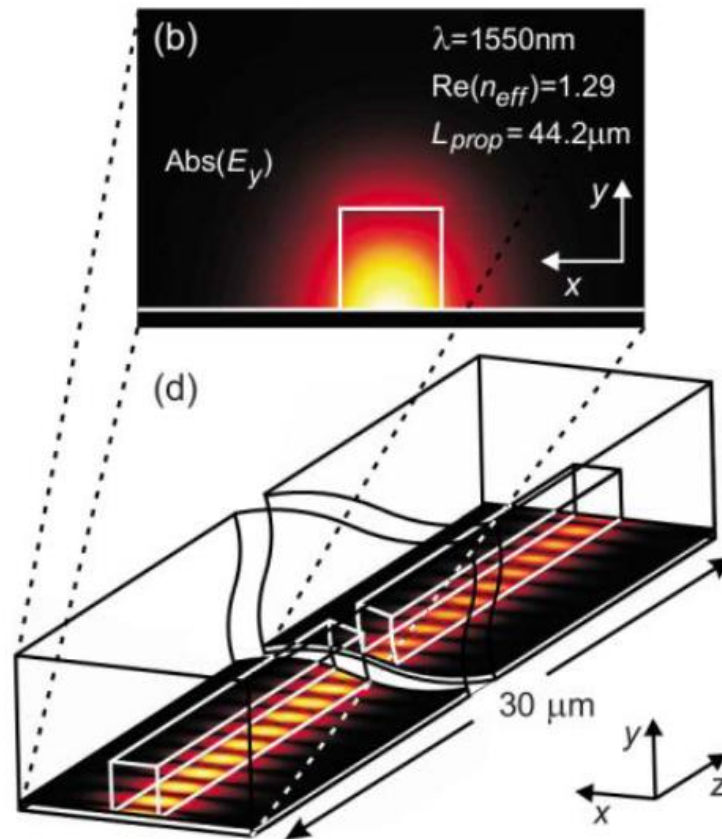
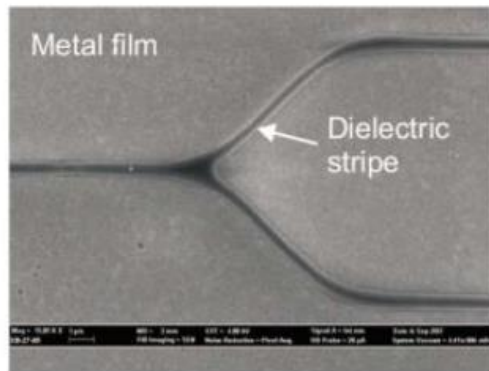
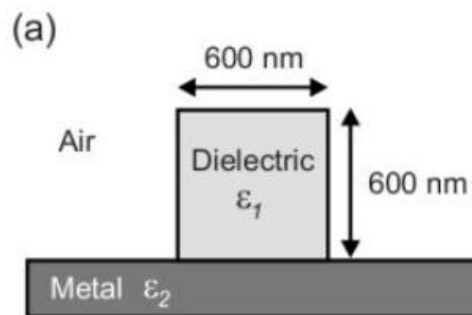
# SPP波导—混合波导(DLSPPW&Hybrid)

- 结合两种波导的优点：

损耗低的介质波导 + 强约束金属波导

DLSPPW: dielectric-loaded SPP waveguides

- 介质负载波导
- 混合波导



# SPP波导—混合波导(Hybrid&DLSPPW)

- 减少损耗

→到cm尺度传播

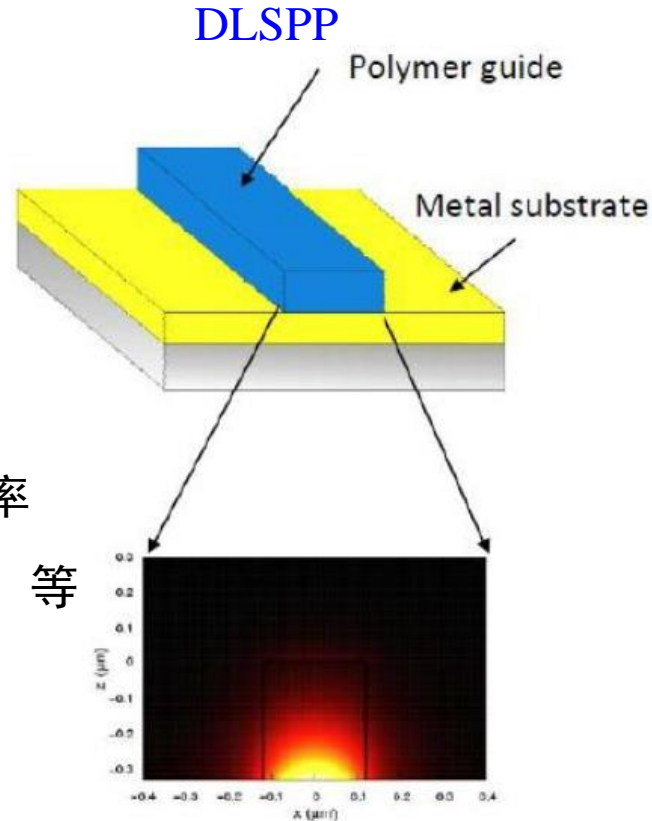
- 强的侧向场约束

→高密度光路

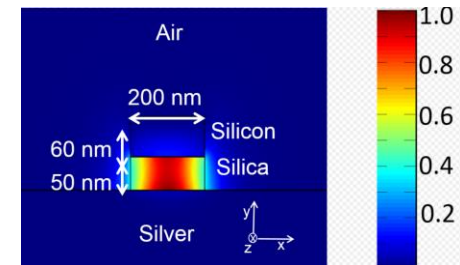
- 场主要定位在介质中

→介质可以掺杂改变折射率

→主动调制, 非线性效应, 等



## HPP



Krasavin and Zayats, PRB **78**,045425(2008)

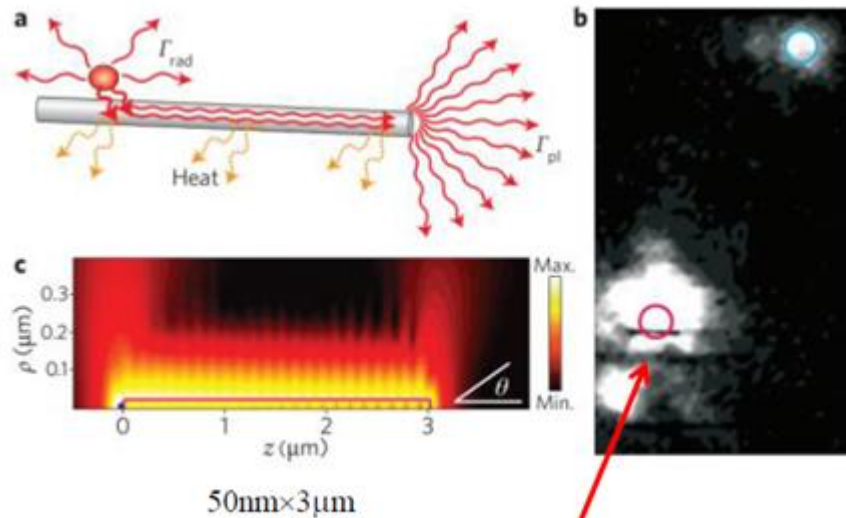
Holmgaard and Bozhevolnyi, PRB **75**,245405(2007)

Grandidier et al., APL **96**,063105(2010)

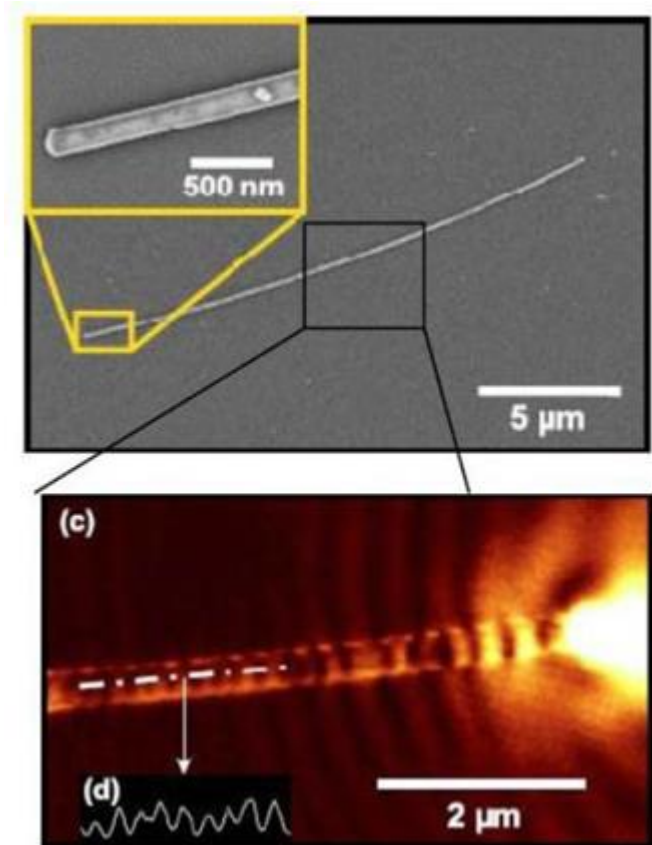
Chu et al., APL **96**,221103(2010)



# SPP波导—金属纳米线



使用靠近银纳米线放置的量子点生成SPP

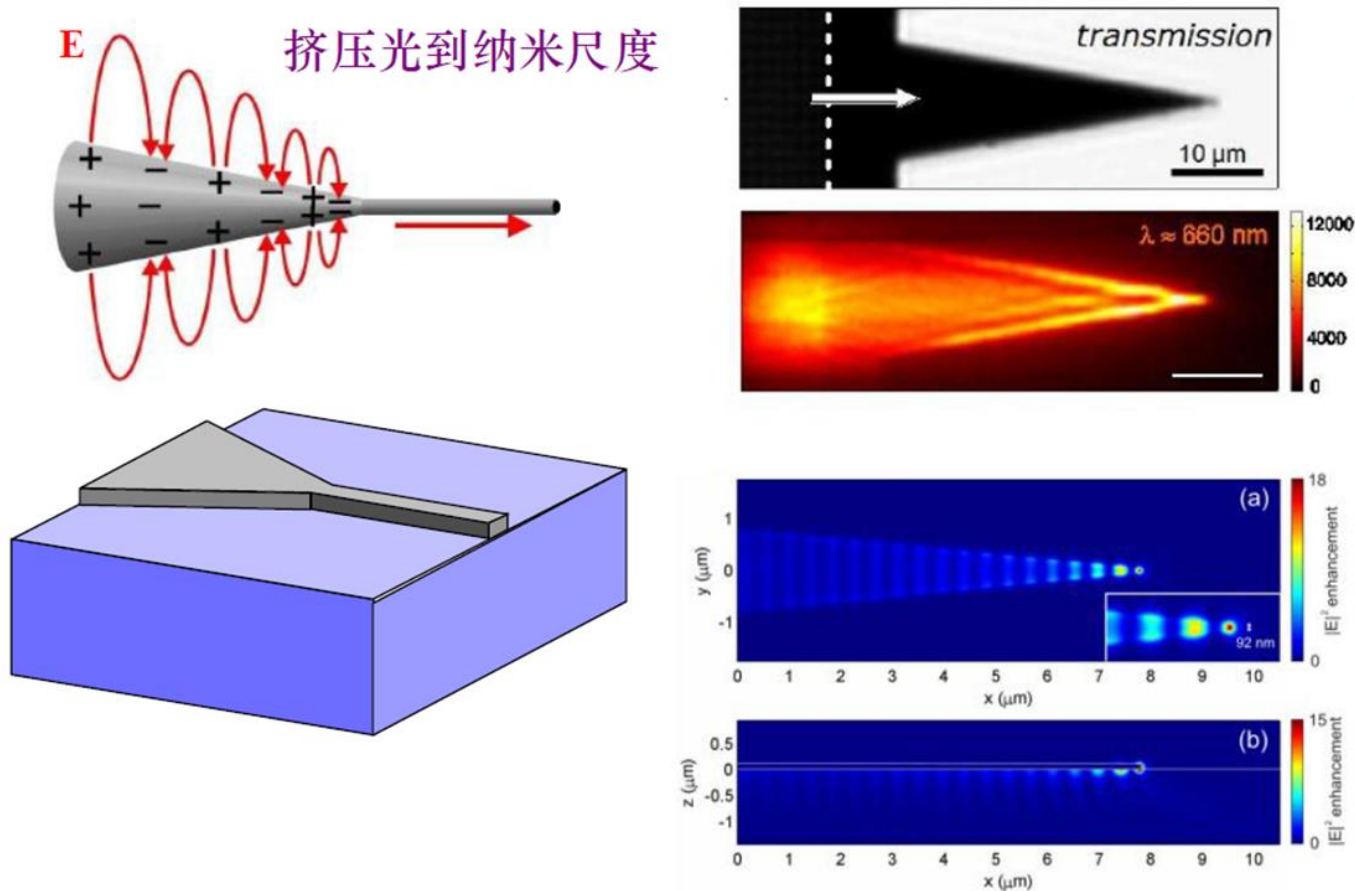


纳米线端面反射形成驻波

- Weeber et al. Phys. Rev. B **60**, 9061 (2000)  
Dickson et al. J. Phys. Chem. B **104**, 6095 (2000)  
Ditlbacher et al. Phys. Rev. Lett. **95**, 257403 (2005)  
Gunn et al. Nano. Lett. **6**, 2804 (2006)  
Gramotnev and Bozhevolnyi, Nature Photon. **4**, 83 (2010).

# SPP波导—等离子体聚焦

利用锥形金属棒/条带实现等离子体的聚焦

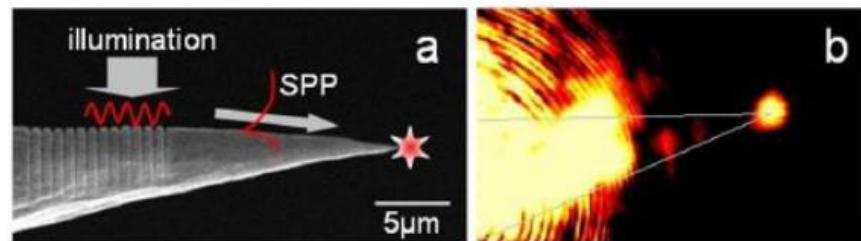
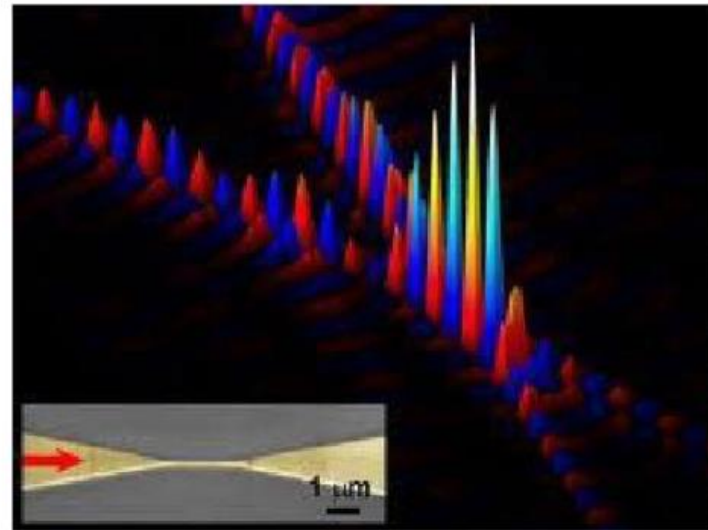
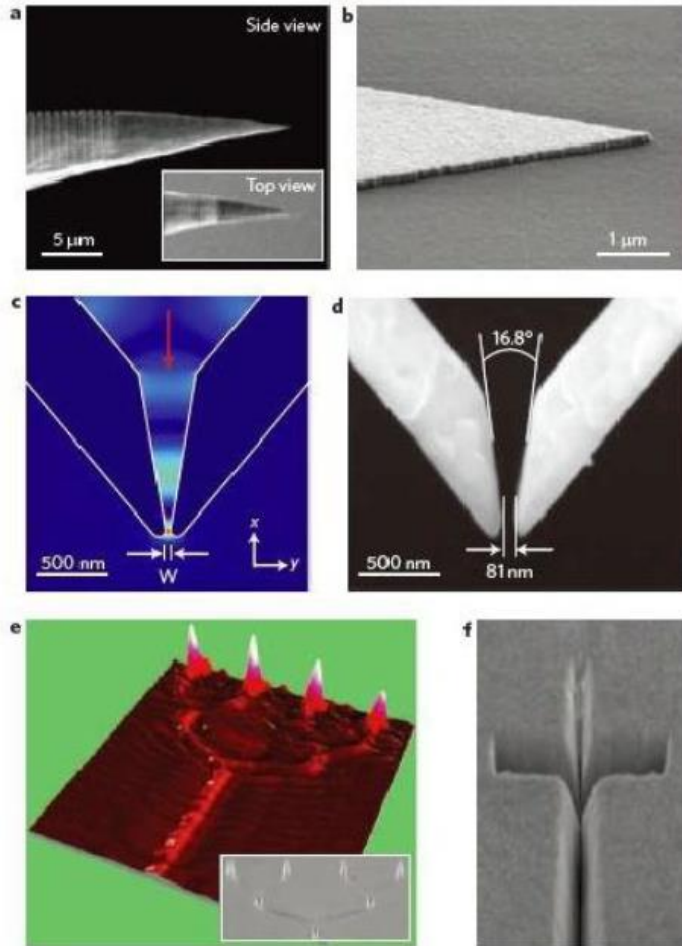


Verhagen, et al., *Nano Lett.*, 7, 334 (2007)

Verhagen & Kuipers, *OE*, 16, 45 (2008)

# SPP波导—等离子体聚焦

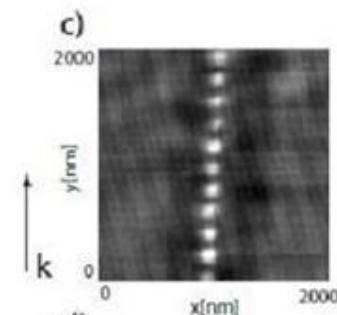
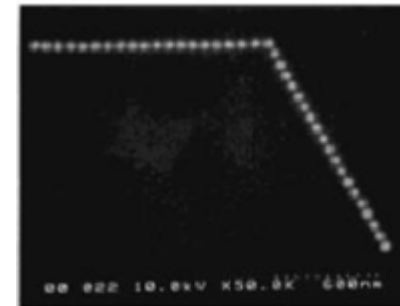
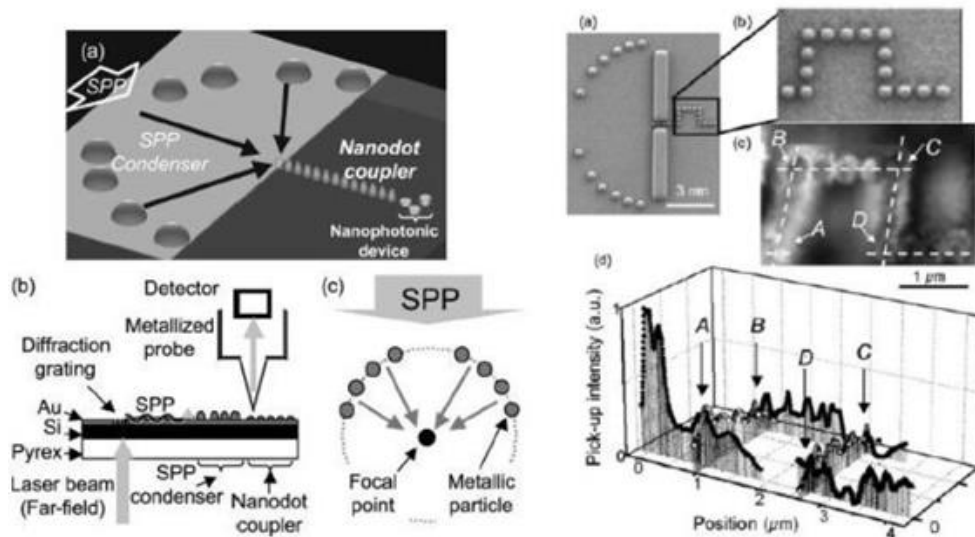
## 各种SPP聚焦方案



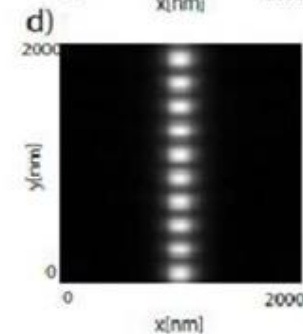
Ropers et al., Nano Lett. **7**, 2784 (2007).

# SPP波导—链状波导

- 弧形排布金属球将SPP聚焦于圆心
- 金属球链构成SPP波导



近场显微图

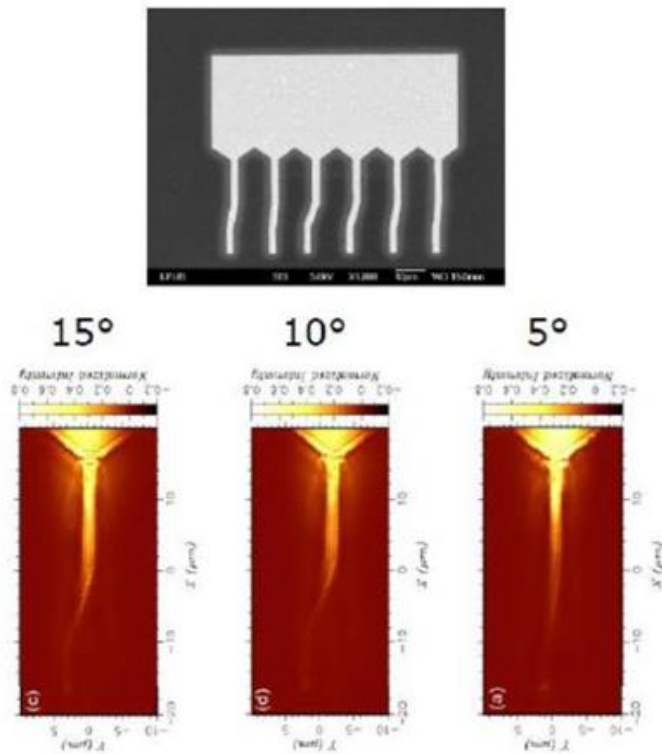


仿真结果

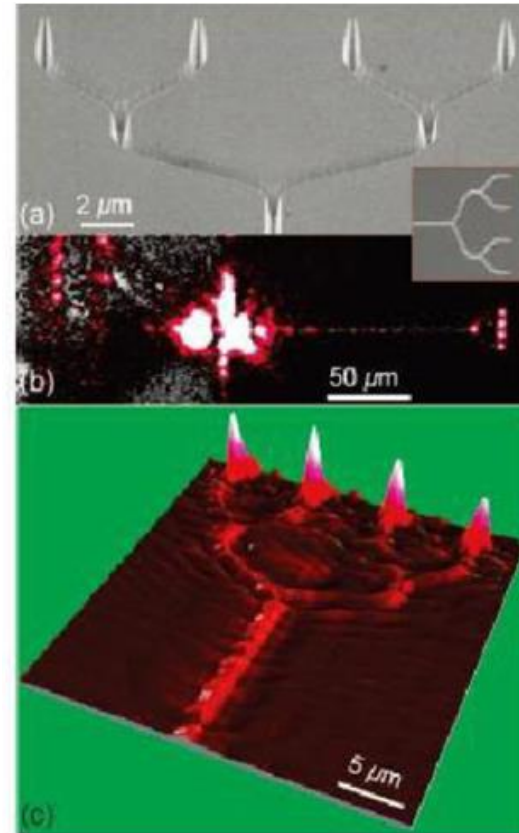
亮点位于球之间的间隙

Nomura et al., APL **86**, 181108 (2005)  
 Maier et al., Adv. Mater. **13**, 1501 (2001)  
 Maier and Atwater, JAP **98**, 011101 (2005)

# SPP导向—弯曲导向



- 弯曲角度增加，损耗增大

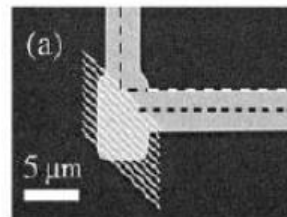
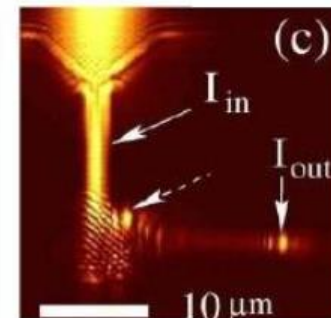
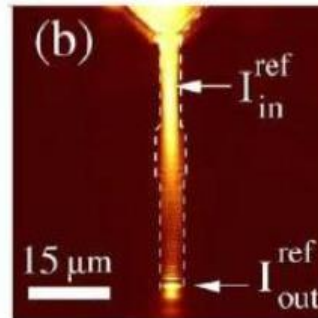
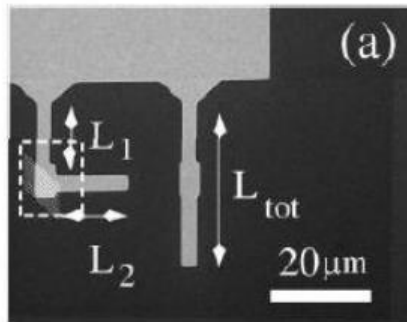
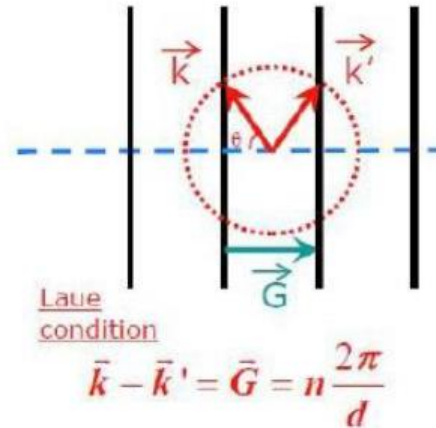
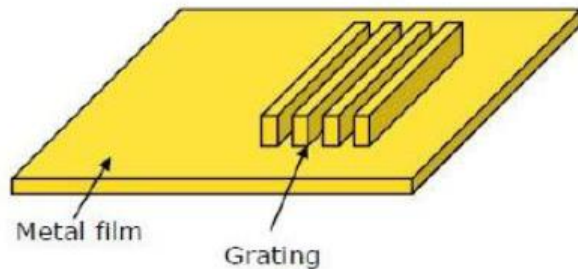


- 弯曲对应V形槽而言损耗小



# SPP导向—布拉格反射

- 布拉格光栅反射实现高效率的SPP传播方向改变

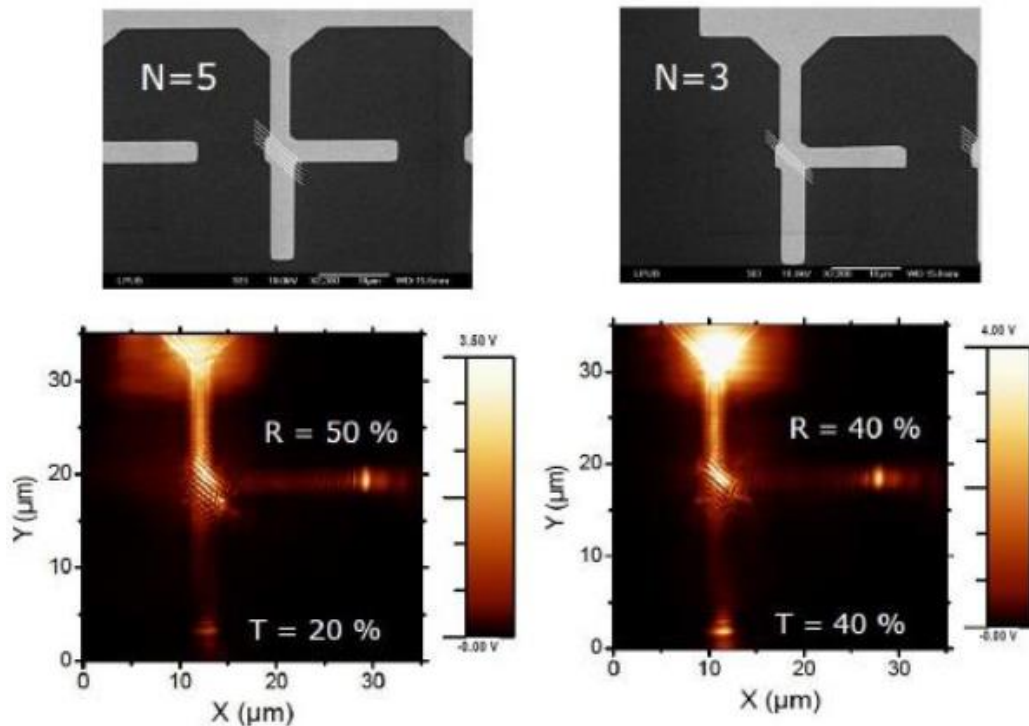


Reflectivity=65%  
Bend loss<2dB for 90° bends

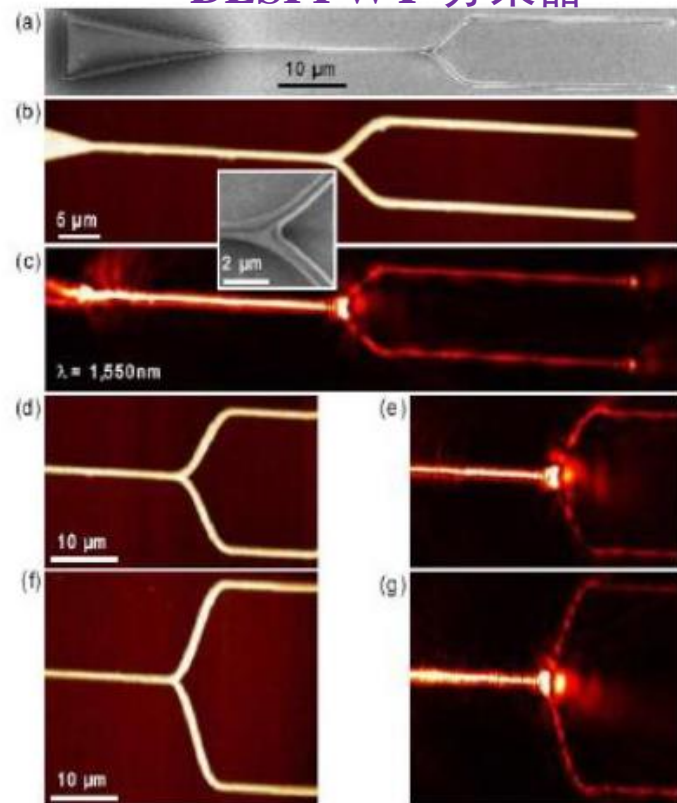
Weeber et al., APL **87**, 221101 (2005)  
González et al., PRB **73**, 155416 (2006)

# SPP导向—分束器

- 反射率取决于布拉格光栅的行数  
——分束器

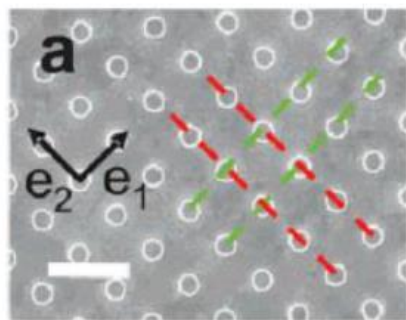


## DLSPWPY-分束器

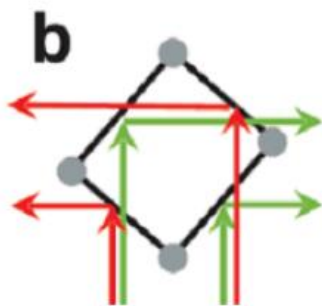


- Y形分束器中间电存在辐射泄漏损耗
- 张开角度越大，损耗越大

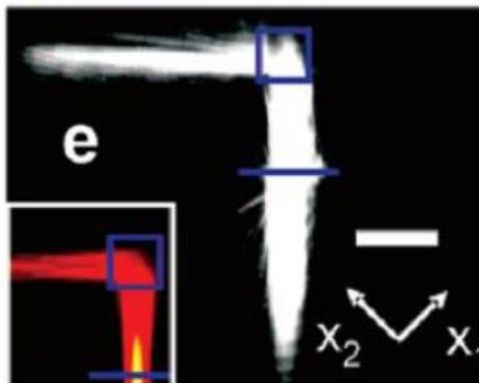
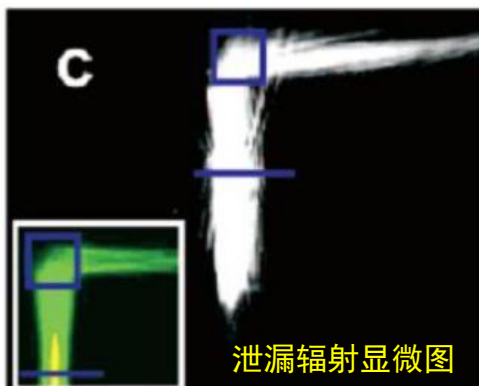
# SPP导向—波分复用



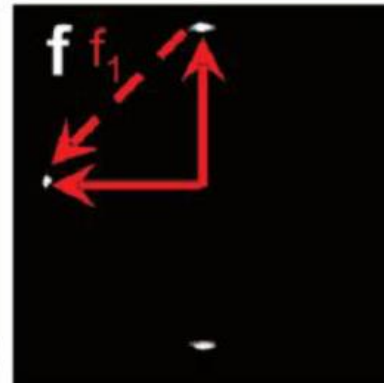
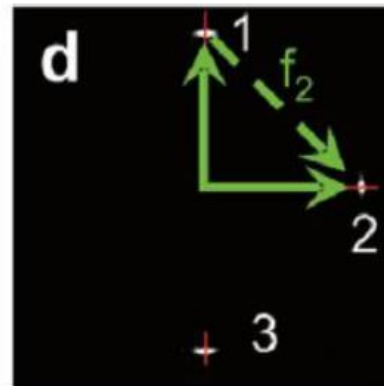
$$k_{m,x} = k_{inc,x} + mK$$



$\lambda = 784 \text{ nm}$  和  $730 \text{ nm}$



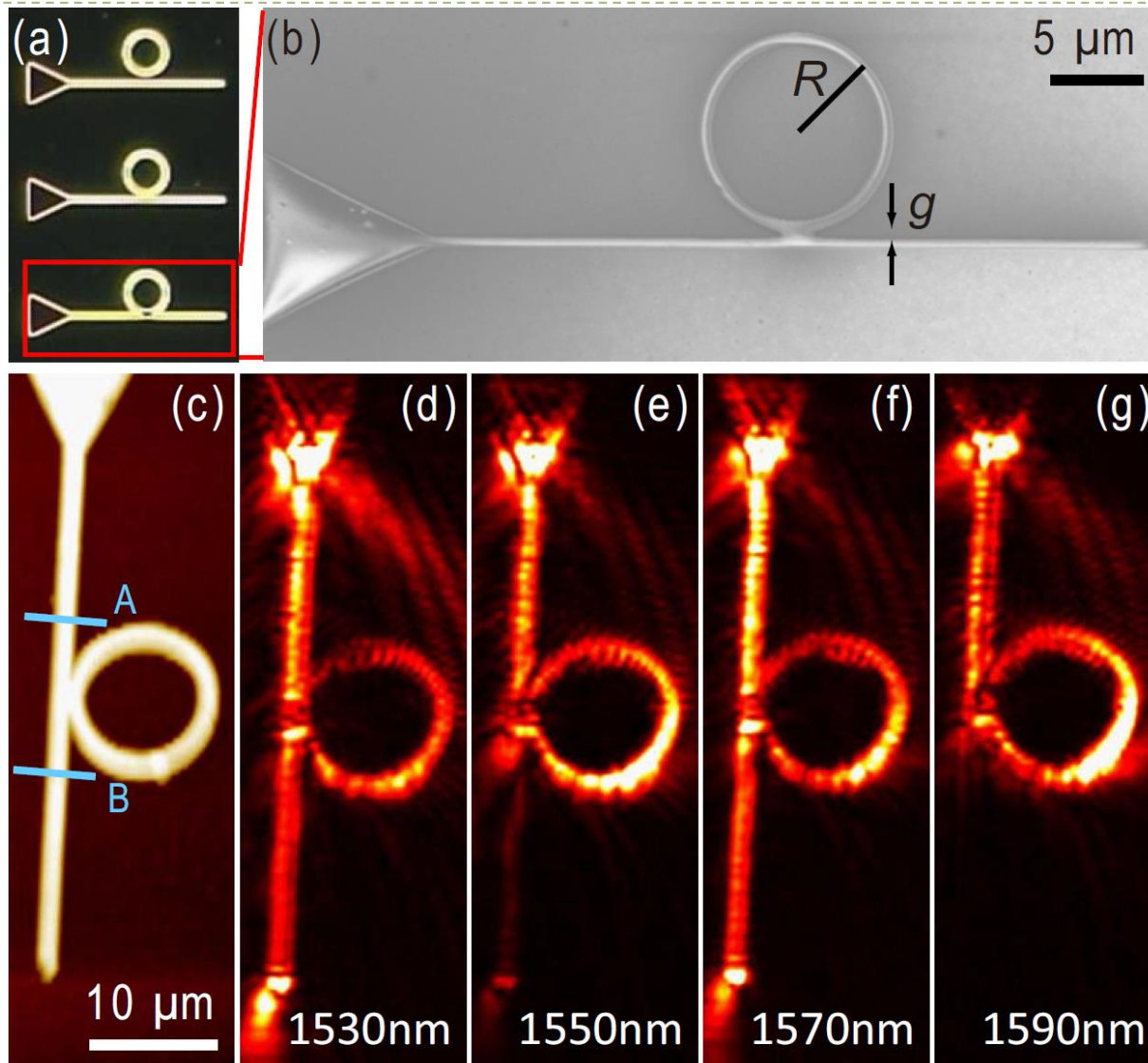
LRM图像



Drezet et al., Nano Lett. 7, 1697 (2007)

- 二维光栅，两个方向周期不同，对应倒格矢不同
- 不同波长满足的衍射条件不同，实现对复色光的解离

# SPP导向—环形振荡滤波



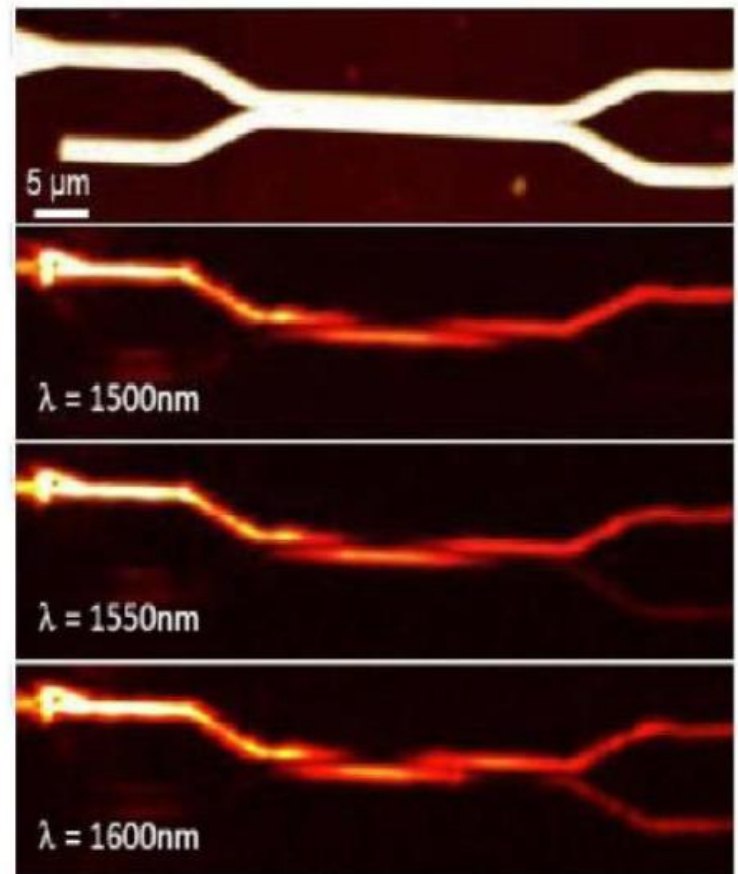
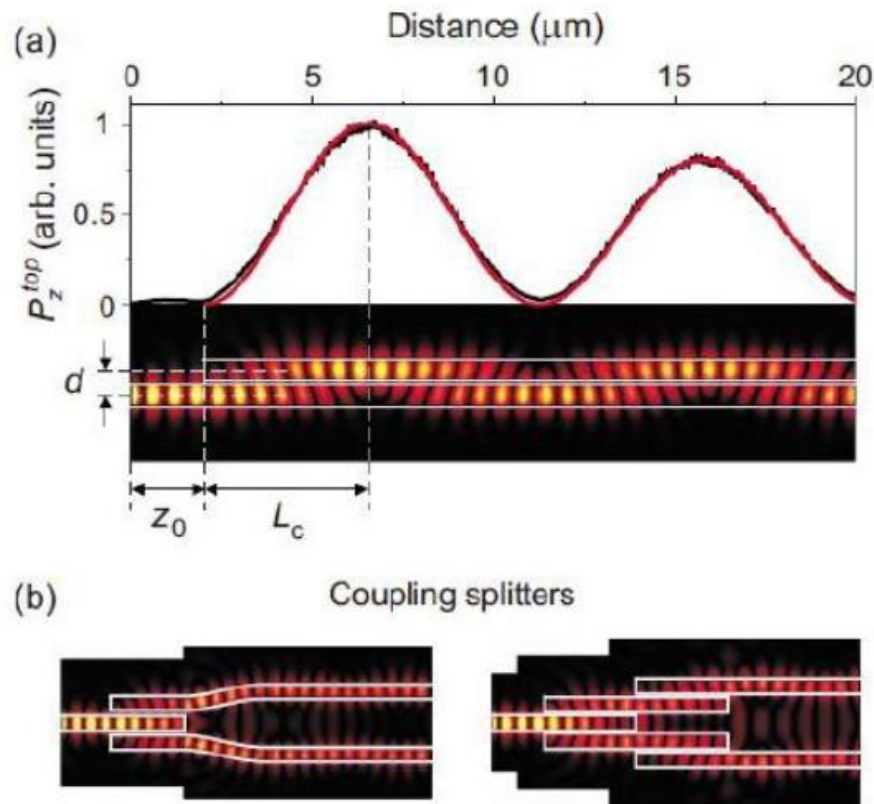
- 介质负载 SPP波导
- 改变环形振荡器的半径或者同直波导间的间距, 可以改变输出端的输出强度
- 固定的结构, 不同波长 SPP 的共振条件不一样, 输出 SPP 的强度也不一致

*APL*, 94 ,  
051111 (2009)



# SPP导向—耦合器

## DLSPW 耦合器



Krasavin and Zayats, PRB **78**, 045425 (2008)

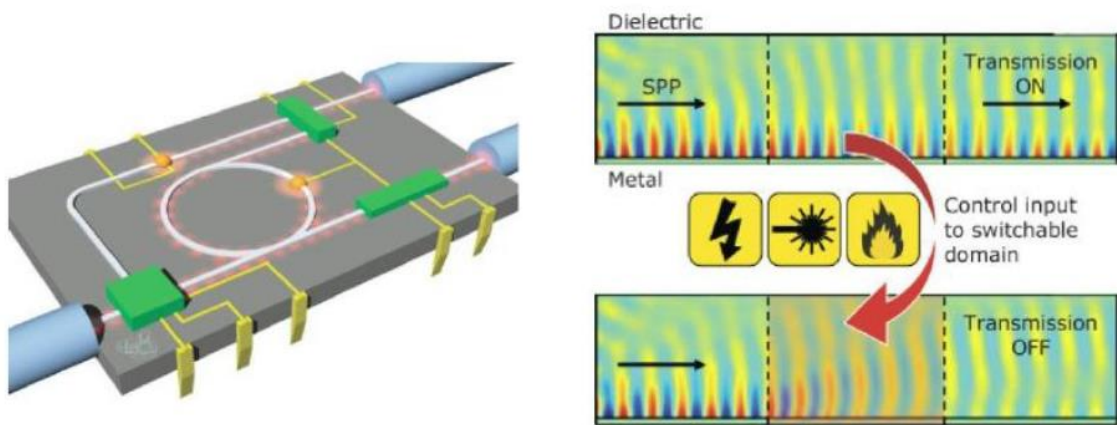


# 主动调制SPP—概念

“当主动调制表面等离子体激元（SPP）信号的有效技术被确认时，我们就可以像谈论“光子”一样来谈论说“等离子体”了。”

— Krasavin and Zheludev, APL **84**,1416(2004)

主动调制等离子体：一种瞬间开关或调节光频SPP信号传播的技术。



- 外界刺激，改变输出端SPP的信号强度
- 实现信号上载到SPP
- 实现信号操控或者运算

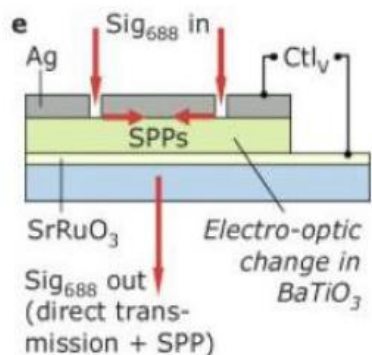
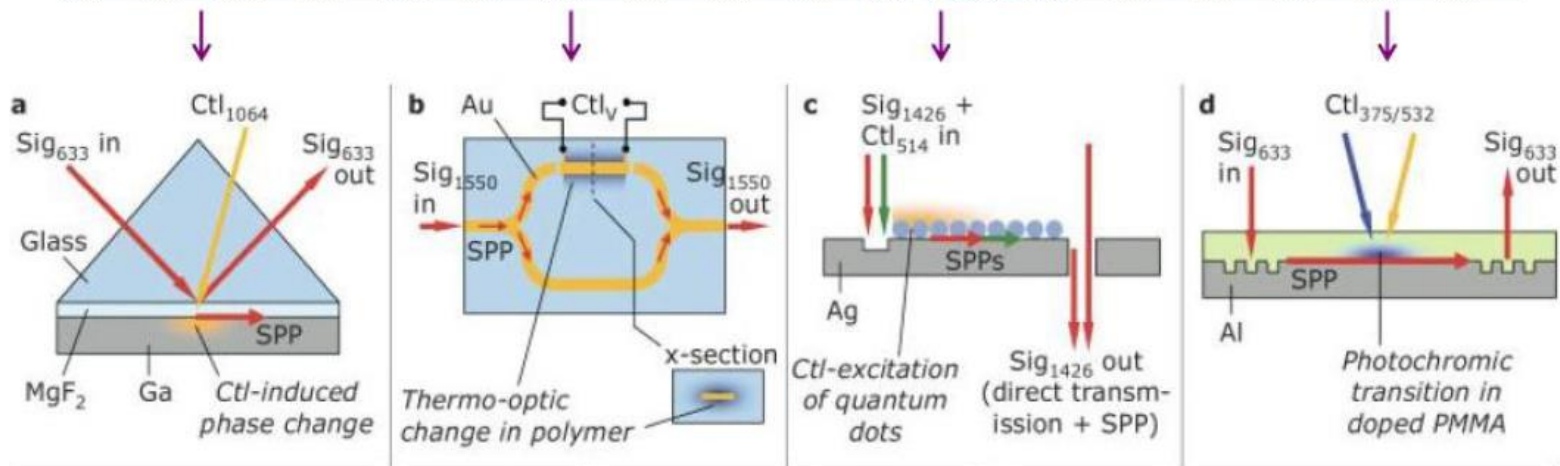
# SPP的主动调制—方法

光诱导固-液相变

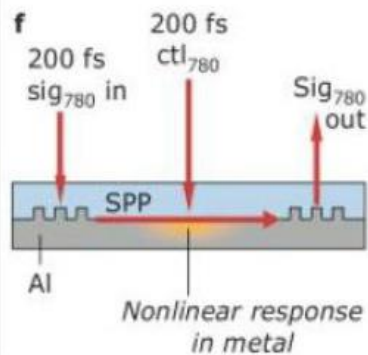
热光调制

CdSe量子点中的吸收激活

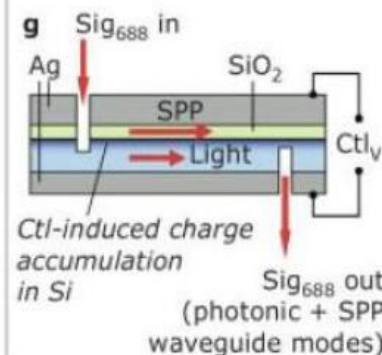
光致变色分子的光致吸收-透明态转换



电光调制

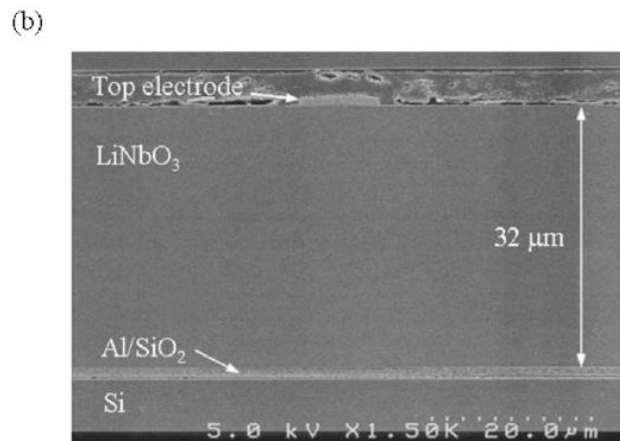
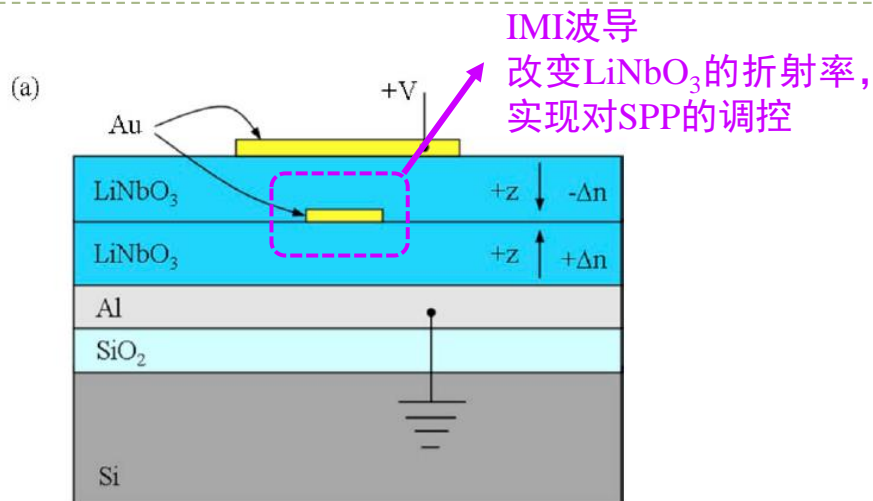


非线性调制



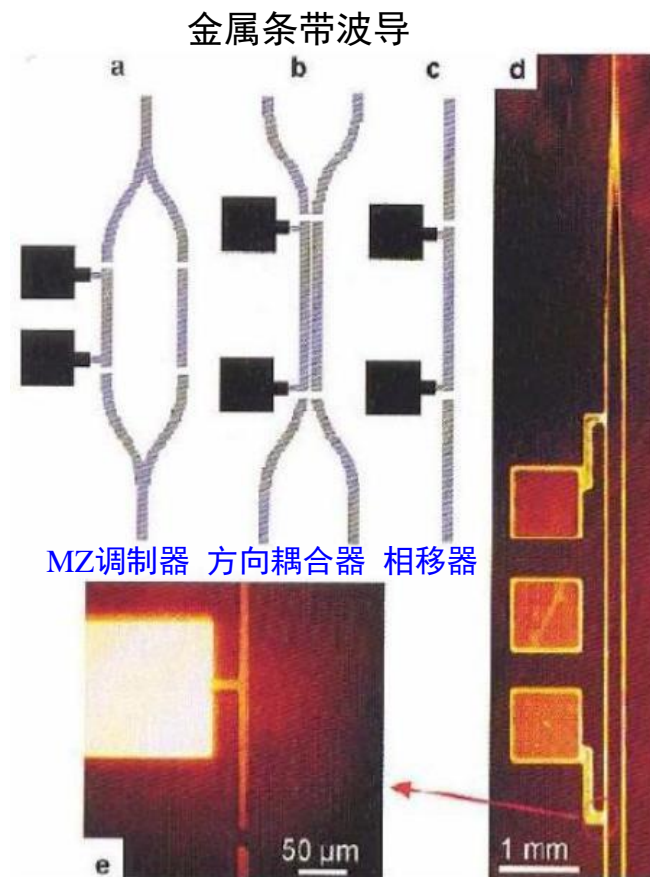
MOS 场效应调制  
(plasmistor)

# SPP的主动调制—开关



电光调制器

Berini et al. APL, 90, 061108 (2007)



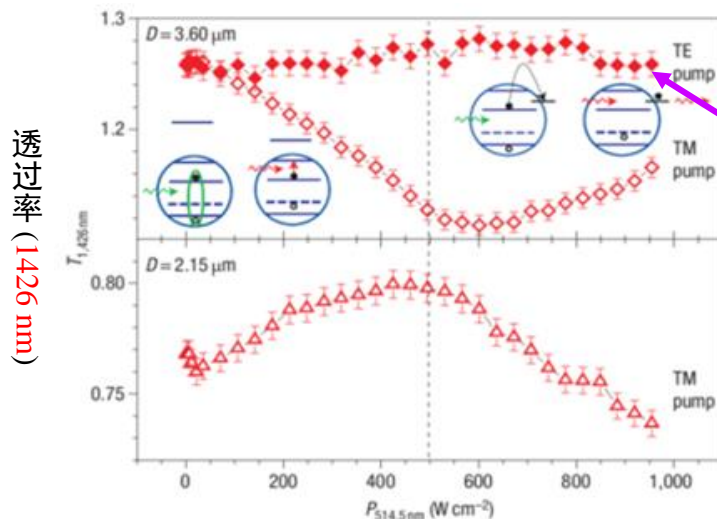
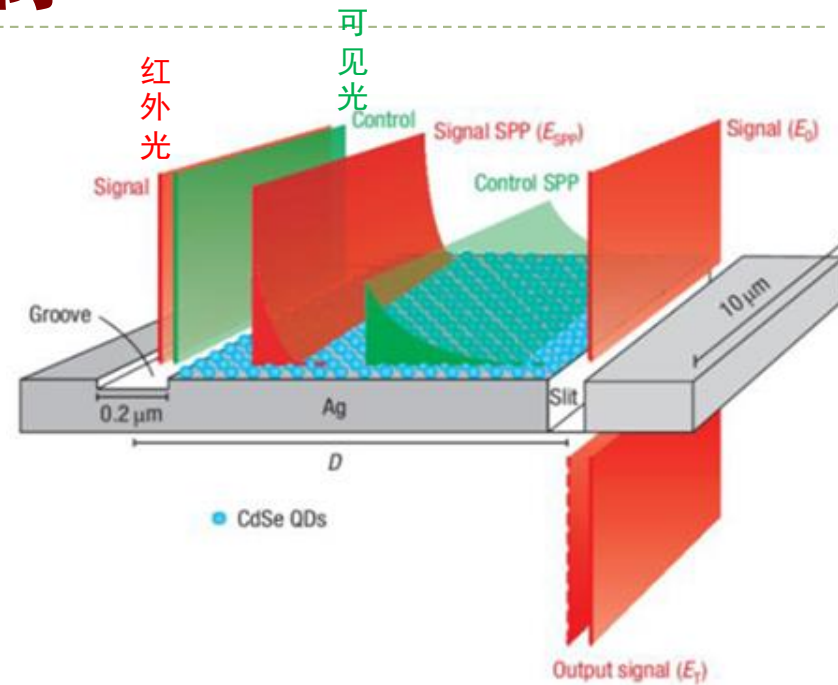
电极上施加电压, 在金属条带上产生焦耳热, 改变其下介质折射率, 进而改变传播常数, 使相位改变

Nikolasjen et al., APL, 85, 5833 (2004)

# SPP的主动调制—光调制

## 全光调制器：调制的是辐射光

- Ag膜上存在一个狭缝和沟槽，二者平行
- 沟槽与狭缝间Ag膜上铺满一层CdSe量子点
- 信号光在沟槽处激发SPP，传播到狭缝处与狭缝处信号光干涉
- 没有泵补光，SPP不被量子点吸收
- 泵补光在狭缝处激发SPP，SPP被量子点吸收，电子跃迁到高能级；高能级之上存在带内跃迁，可以吸收红外光SPP，改变狭缝处的干涉效果，出射信号改变

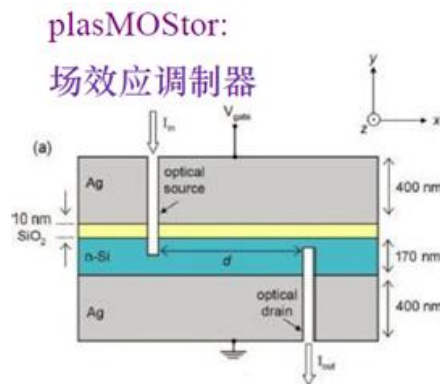


信号光为TE模式不激发SPP，泵补光对其无影响

泵补光功率 (514.5 nm)



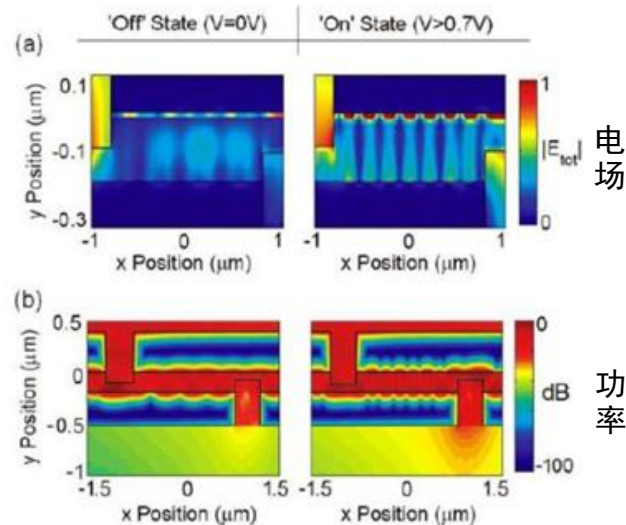
# SPP的主动调制—电场调制



$\lambda = 1.55 \mu\text{m}$	$ E $ mode profile	Mode Index	Loss (dB/ $\mu\text{m}$ )
Off state ( $V=0$ ) depletion		3.641	0.207
		0.375	2.37
On state ( $V>0.7\text{V}$ ) accumulation		3.649	0.228
		0.033	28.14

(red: photonic mode, blue: plasmonic mode)

- 信号光从上方狭缝入射，在中间激发SPP
- SPP在狭缝处转变为辐射光输出
- **原理**：栅电场改变Si中载流子浓度，从而改变其折射率，进而改变SPP的传播特性
- 中间层光传输存在两种模式：**光子模式**和**等离子体模式**
- **光子模式**对Si的折射率敏感，施加偏压后迅速衰减
- **等离子体模式**对Si折射率改变不敏感
- 零偏压下，两种模式干涉导致输出光弱
- 偏压下，光子模式被抑制，没有干涉，输出光强

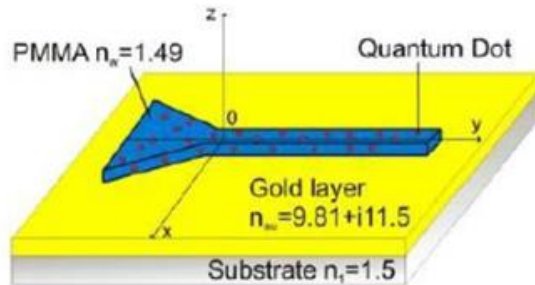


Dionne et al., Nano Lett. 9, 897 (2009)

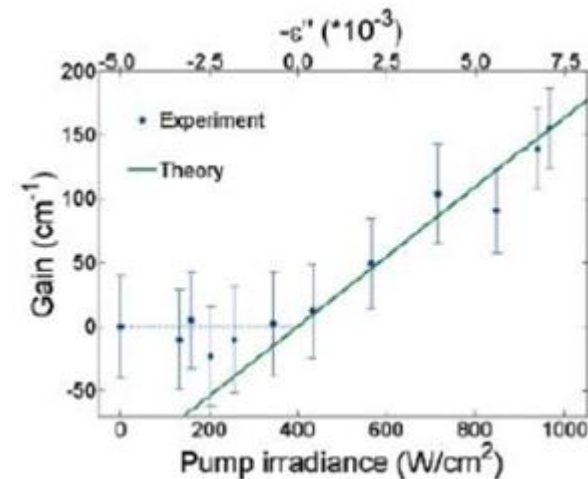
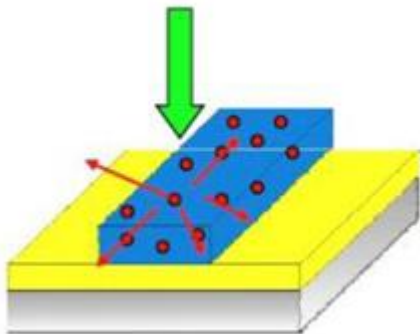


# SPP的主动调制—放大器

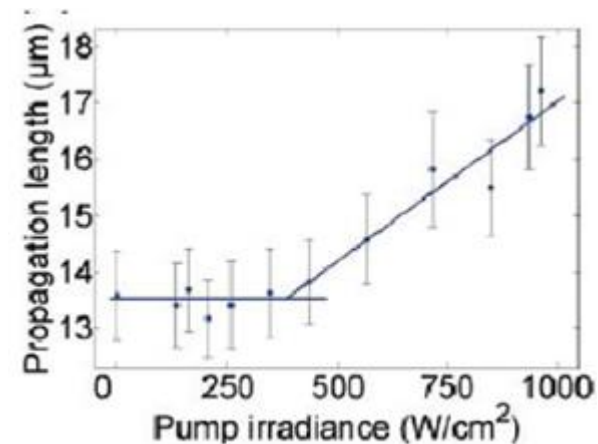
## DLSPW掺杂增益介质



- **原理**：受激辐射光放大——同激光类似
- 介质中含有PbS量子点
- 在DLSPW中激发SPP ( $\lambda_0 = 1525 \text{ nm}$ )
- 用532 nm的泵补光照射DLSPW，PbS量子点发生跃迁
- SPP诱导量子点发光（受激辐射）

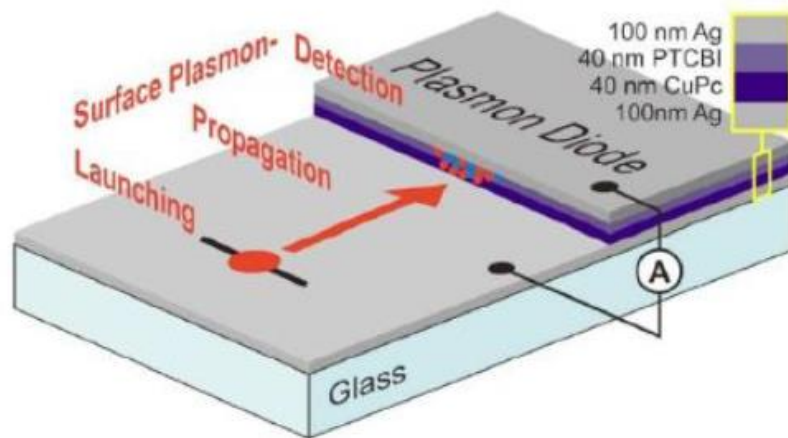


随泵补强度的增加，出现激射



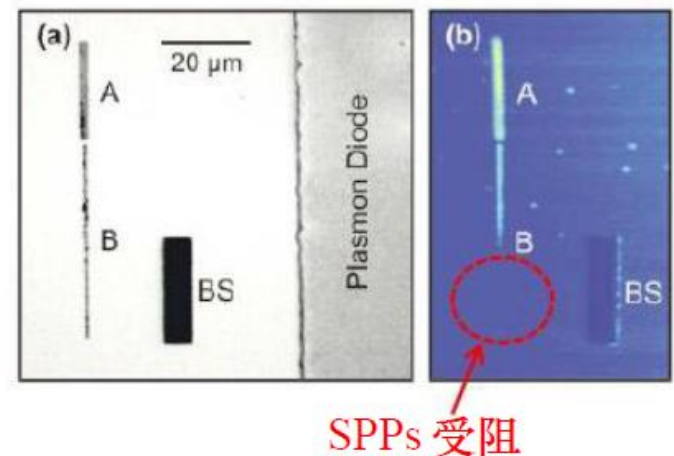
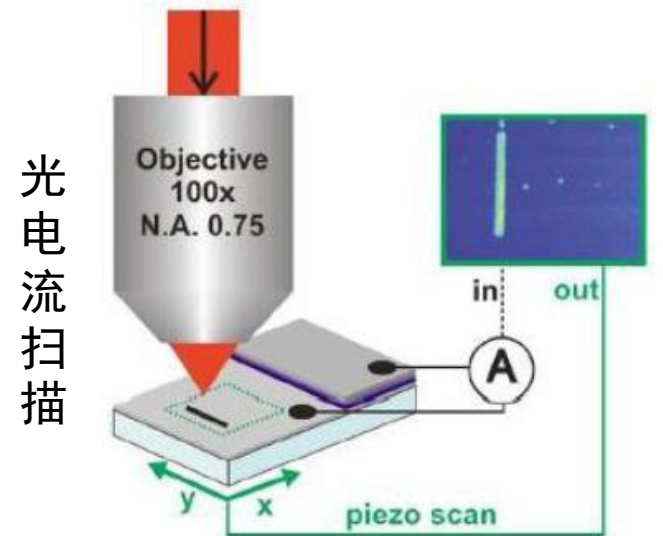
出现激射需要一定的长度

# SPP的探测—通过有机二极管检测

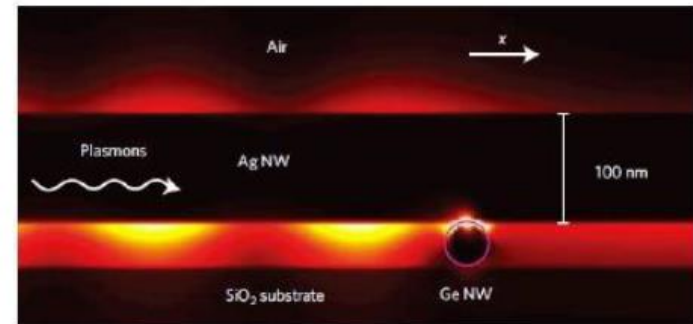
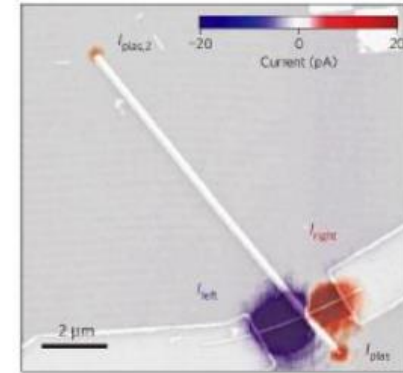
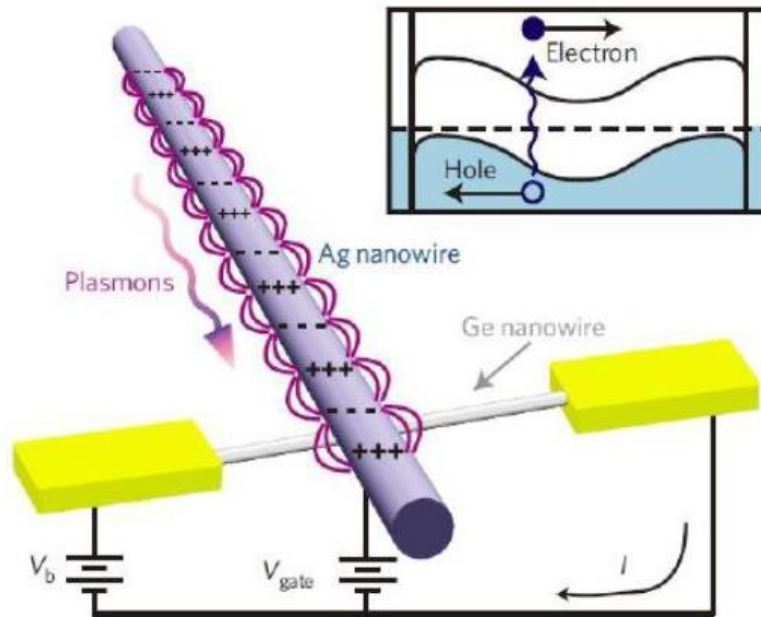


SPP传播到等离子体二极管，产生电荷载体像直流电一样可以被检测

- 物镜将入射光聚焦在金属膜表面
- 金属膜样品在水平方向做扫描运动
- 每扫描一个点记录一下光电二极管中的电流，构成位置-电流一一对应关系
- 在狭缝A、B处可以激发SPP，有光电流
- 存在BS孔洞处，阻碍SPP传播，所以被BS阻挡的狭缝B无光电流



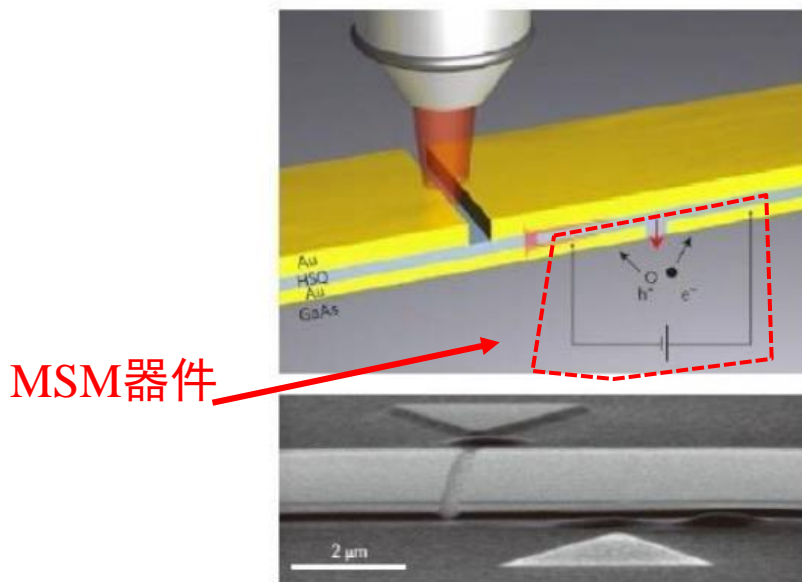
# SPP的探测—通过纳米线场效应晶体管检测



Ag纳米线传导的SPPs在Ag-Ge交界处强烈耦合进Ge纳米线，并被转换为电子空穴对，有电流通过Ge纳米线晶体管而被检测到。

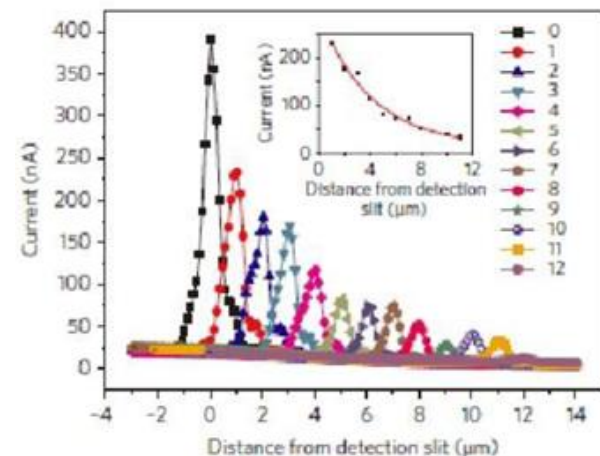
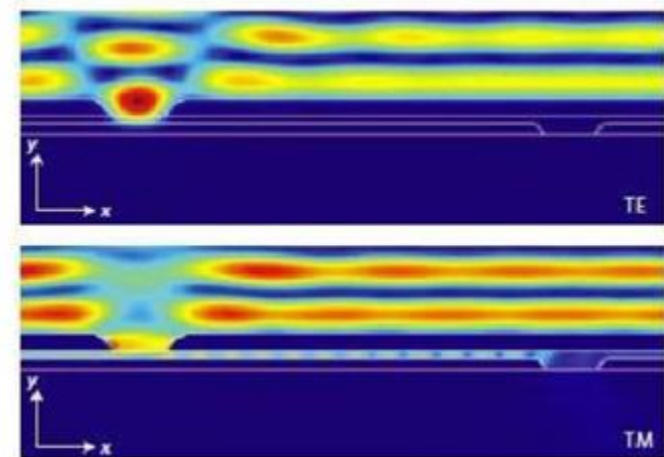
Falk et al, Nature Phys. **5**, 475(2009)

# SPP的探测—通过纳米缝MSM光探测器检测



被纳米缝激发的SPP，在MIM波导的传播，并通过(金属-半导体-金属)MSM光探测器检测

Neutens et al., Nature Photon. 3, 283(2009)

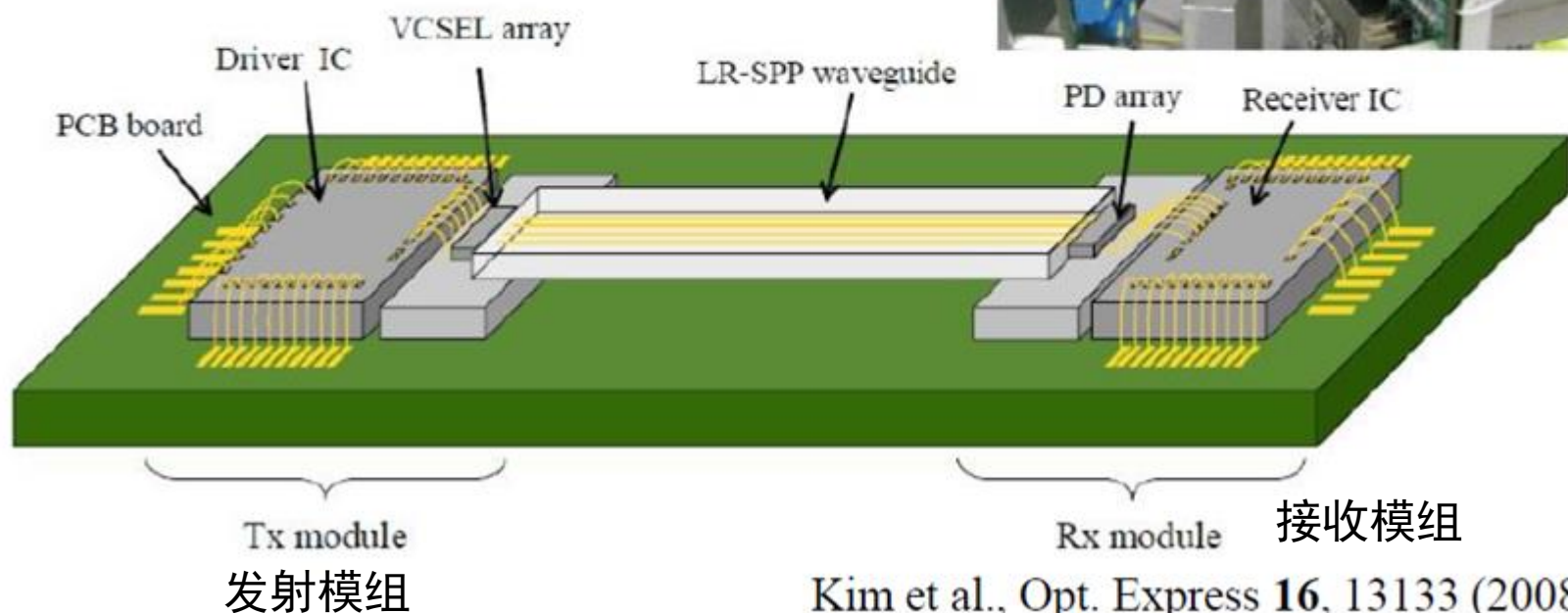
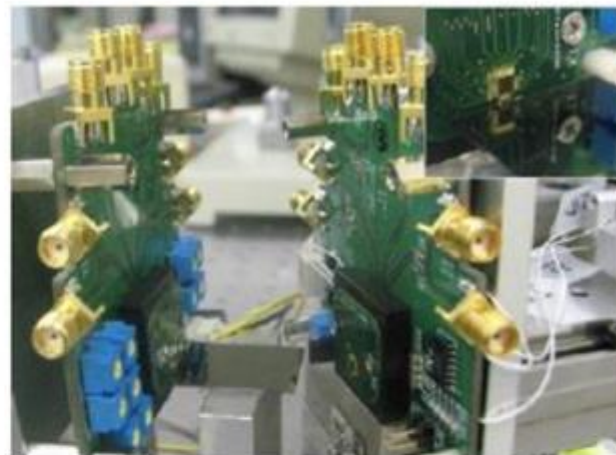


MSM探测器位于  $x = 0$  处，激发光沿x方向做扫描

# 等离子体光路展望

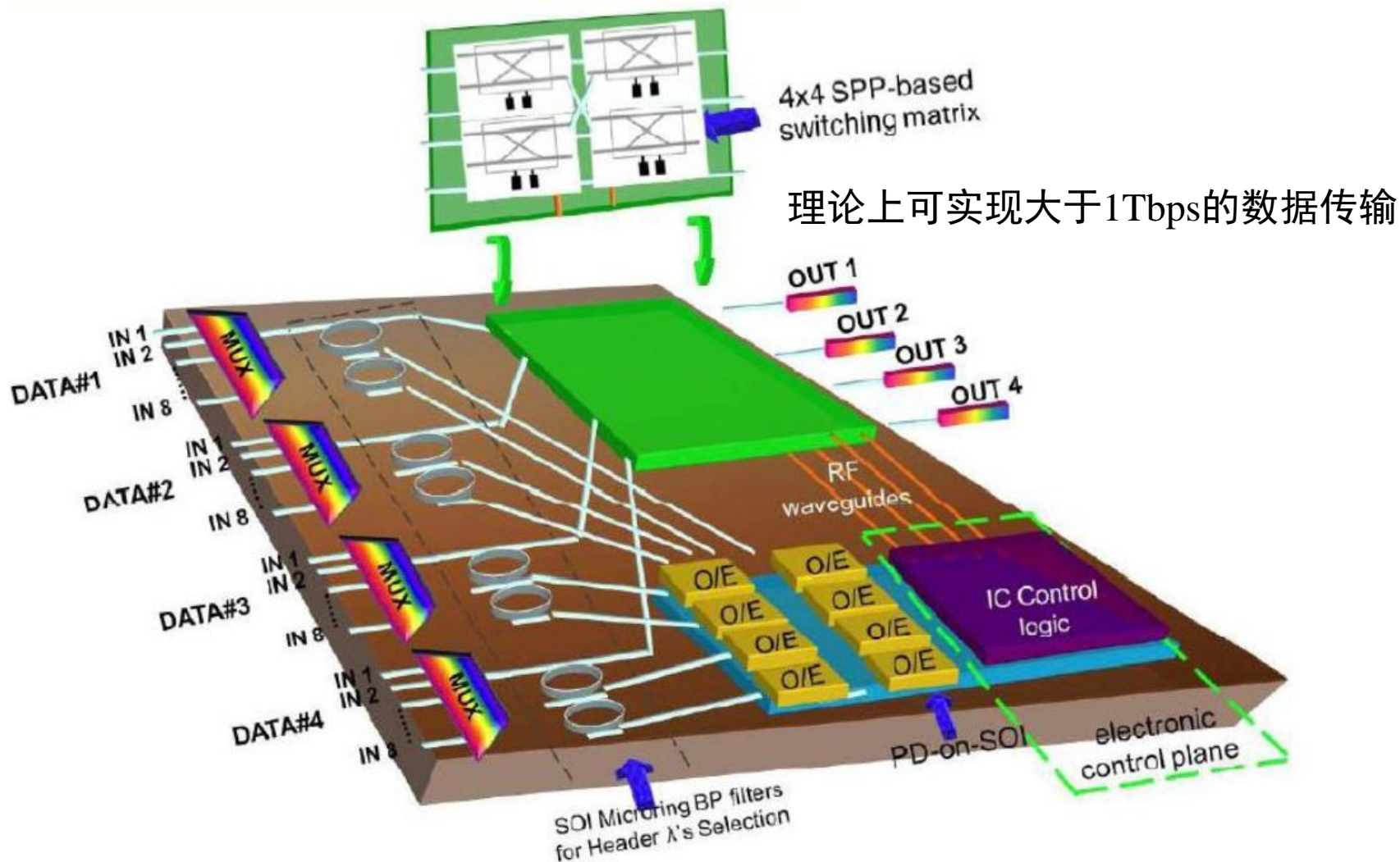
主板上利用基于金LRSP波导的  
聚合物实现芯片间光互连

10 Gbps的数据传输





# 等离子体光路展望



# 小结

---

- 等离子体光路：未来信息技术的潜在解决方案（等离子体互联）
- SPP波导、反射镜、分束器、波分复用器和解波分复用器、耦合器、滤波器、SPP源和发射器、开光和调制器、放大器、探测器， 、 、 、